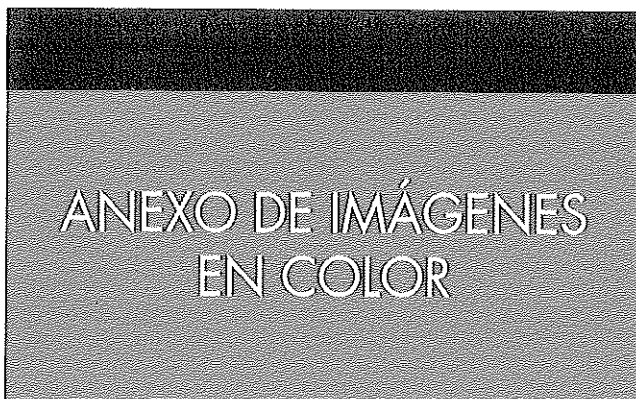


Teledetección y Medio Ambiente. IV Reunión Científica Asociación Española de Teledetección.
Junta de Andalucía - Consejería de Cultura y Medio Ambiente.
Sevilla, 13, 14 y 15 de noviembre de 1991. pp. 435-480.
Editor: J. M. Moreira



SESIÓN PLENARIA

SOFTWARE DE BAJO COSTE PARA EL TRATAMIENTO DE IMÁGENES EN UN CONTEXTO DOCENTE

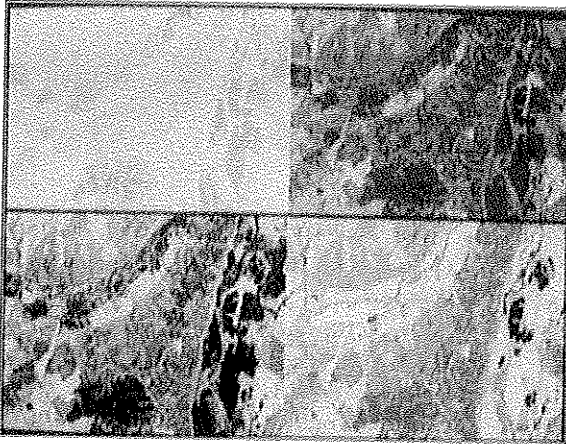


Imagen 1.- Visualización simultánea de cuatro imágenes en el programa RSVGA. Resulta muy útil para analizar conjuntamente distintas bandas o distintas operaciones de realce.



Imagen 2.- Composición en color de las bandas TM4/5/3 con el programa DRAGON.

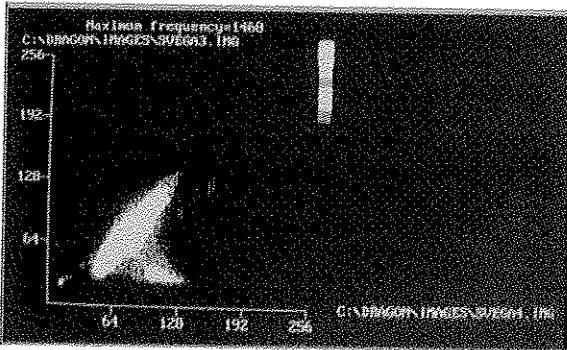


Imagen 3.- Diagrama de dispersión de las bandas TM4 y TM3. Los tonos de color indican la frecuencia observada en las dos bandas. La forma del gráfico nos ofrece una imagen muy clara de la heterogeneidad entre ambas bandas.



Imagen 4.- Perfil radiométrico de la banda TM4 en el programa IDRISI. Resulta interesante contrastar las variaciones de los niveles digitales a lo largo de un transecto espacial.

LA UTILIZACIÓN DEL ORDENADOR PERSONAL EN EL TRATAMIENTO DIGITAL DE IMÁGENES EN TELEDETECCIÓN



Imagen 1.- Visualización banda 5.



Imagen 2.- Ampliación lineal de contraste.

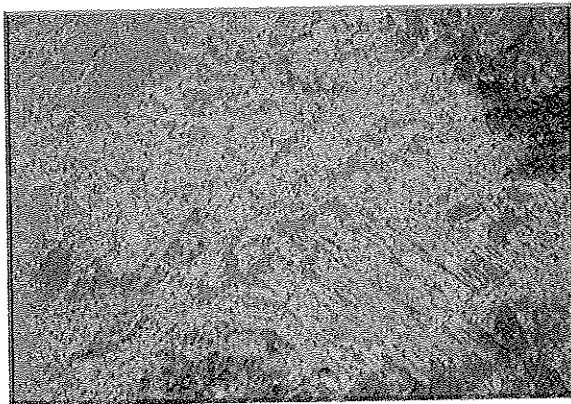


Imagen 3.- Ampliación contraste equalización histograma.



Imagen 4.- Composición RGB.

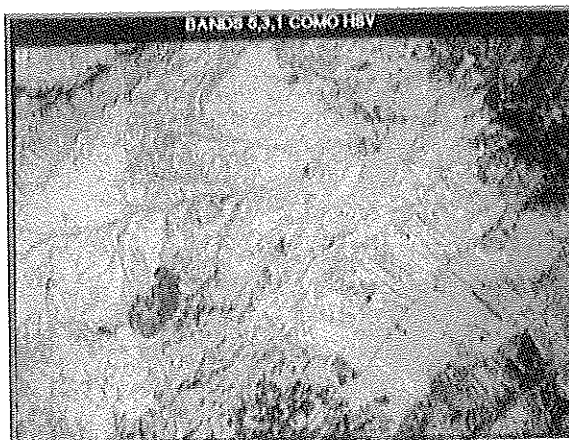


Imagen 5.- Composición HSI.

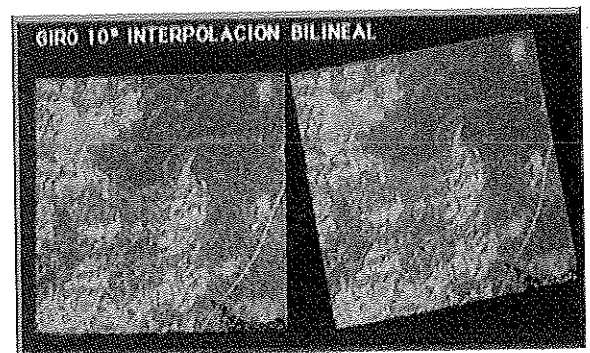


Imagen 6.- Deformación geométrica.

EVALUACIÓN DE TIERRAS MEDIANTE LA UTILIZACIÓN DE SENSORES REMOTOS Y SISTEMAS DE INFORMACIÓN GEOGRÁFICA

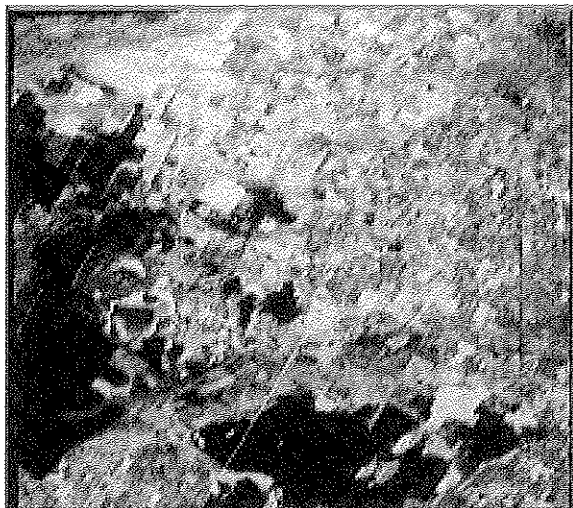


Imagen 1.- Composición en falso color de la imagen SPOT.

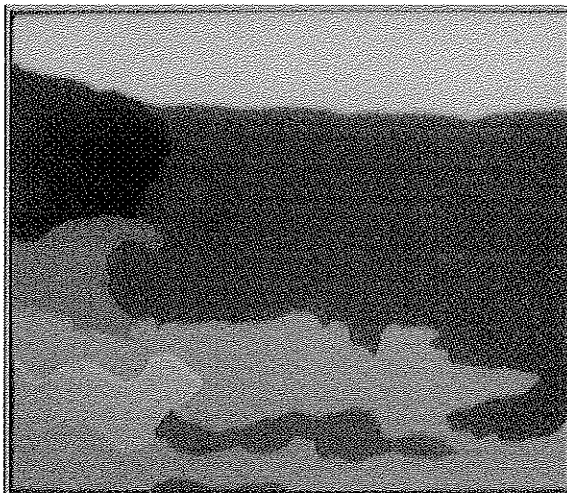


Imagen 2.- Mapa de Suelos.



Imagen 3.- Aptitud del suelo para riego de acuerdo a su tipo de suelo y la proximidad a los canales de riego.

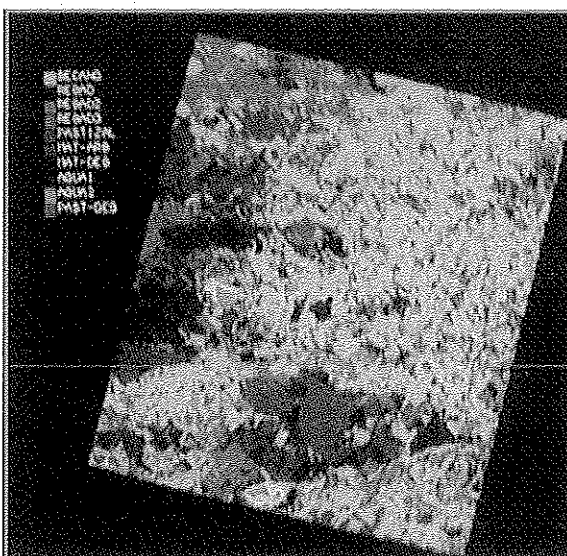


Imagen 4.- Clasificación supervisada de la imagen SPOT.

SESIÓN ESPECIALIZADA 1

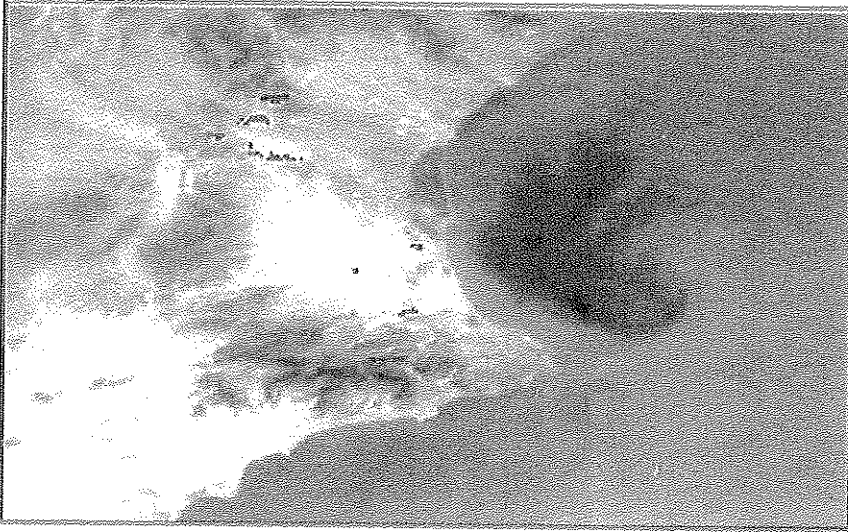
ANÁLISIS DE INCENDIOS MEDIANTE IMÁGENES NOAA

Imagen 1.- Imagen de temperaturas de brillo del canal 3 para el día 7 de agosto de 1991 a las 18h. El color rojo indica altas temperaturas y permite detectar varios incendios en la Comunidad Valenciana.

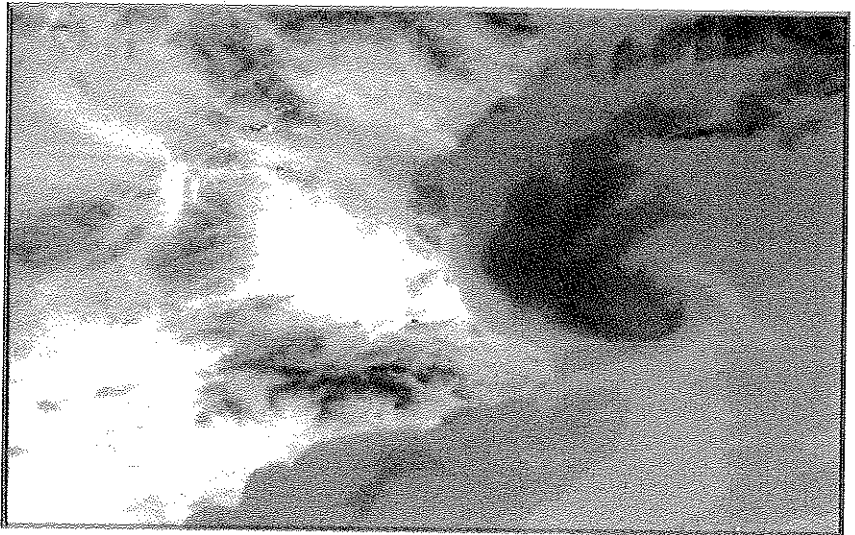


Imagen 2.- Imagen de temperaturas de brillo del canal 4 para el día 7 de agosto de 1991 a las 18h. El color rojo indica altas temperaturas. Se observa una mejor detección de incendios en el canal 3 (Imagen 1).

USO DE LAS IMÁGENES LANDSAT-TM EN UN SISTEMA DE EVALUACIÓN DE DAÑOS CAUSADOS POR INCENDIOS FORESTALES



Imagen 1.- Imagen Landsat de la zona incendiada.

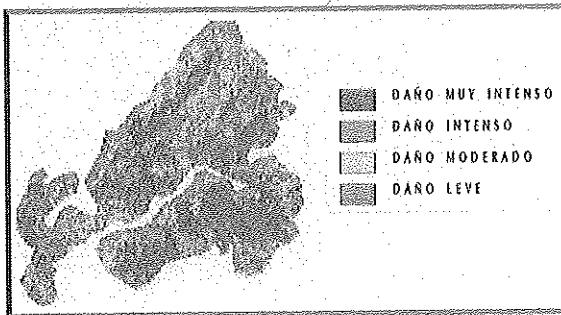


Imagen 3.- Grados de afectación.

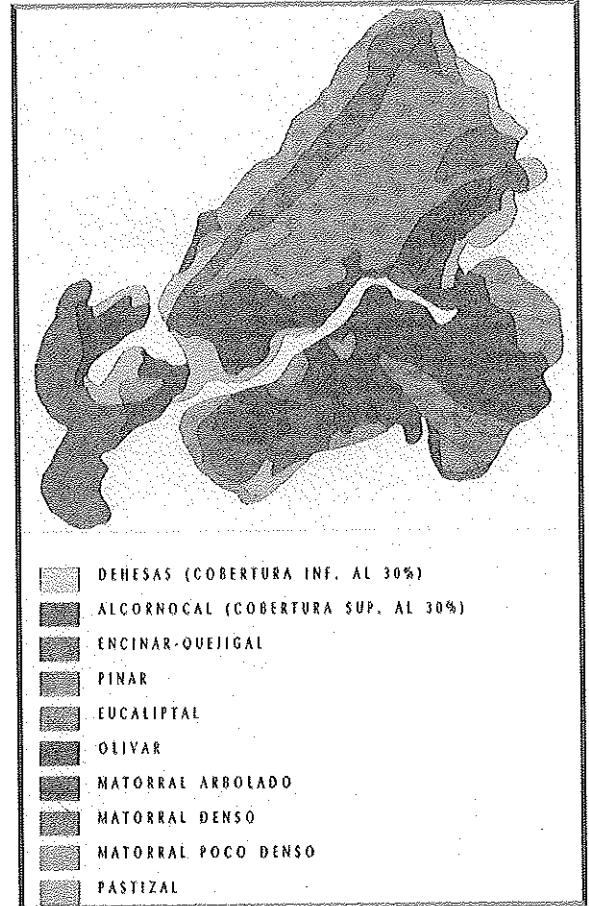


Imagen 2.- Coberturas vegetales de la zona incendiada.

DINÁMICA DE LA DEFORESTACIÓN EN REGIONES TROPICALES A PARTIR DEL ANÁLISIS MULTITEMPORAL DE IMÁGENES SPOT

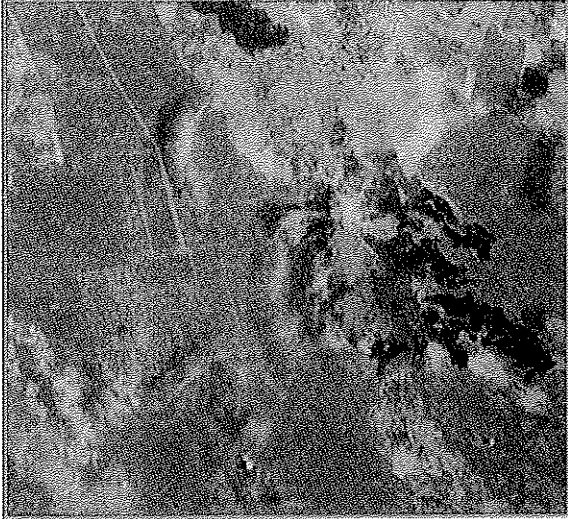


Imagen 1.- Imagen SPOT del sector de Inoporo: 1987.

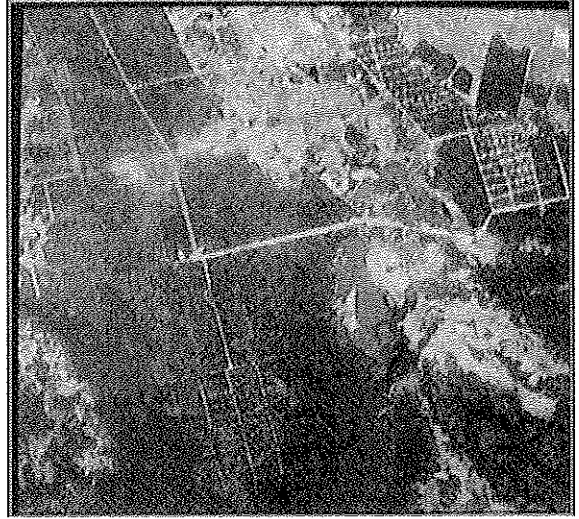


Imagen 2.- Imagen SPOT del sector de Inoporo: 1989.

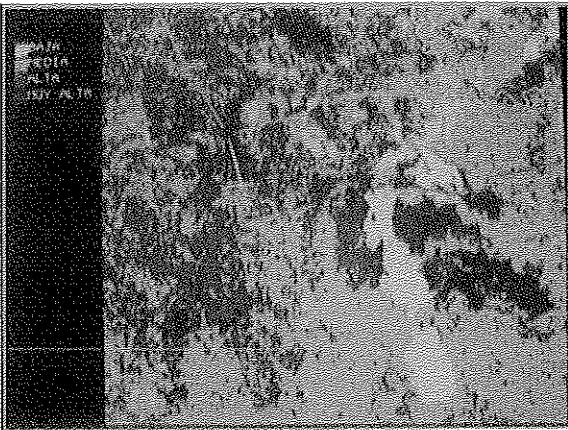


Imagen 3.- Intensidad del cambio a partir del análisis de componentes principales.

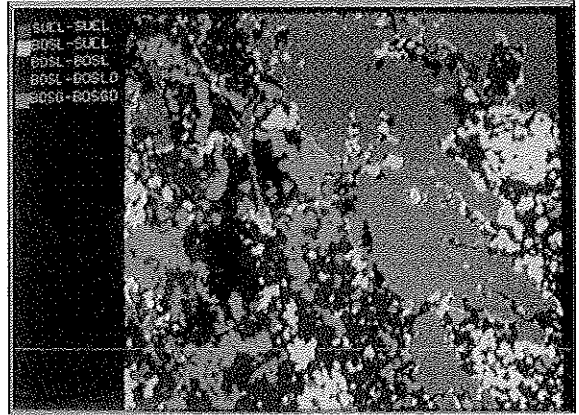


Imagen 4.- Dirección del cambio forestal entre 1987 y 1989: suelo a suelos, bosque llanero a suelo, bosque llanero a mantenido, bosque llanero a bosque llanero degradado, bosque galería a bosque galería degradado.

SESIÓN ESPECIALIZADA 2

**IMÁGENES DE LA MORFOLOGÍA URBANA EN EL ÁREA METROPOLITANA DE BARCELONA
CON IMÁGENES LANDSAT TM.**



Imagen 1.- Barcelona, agosto 1988.

SESIÓN ESPECIALIZADA 3

CARACTERIZACIÓN Y CARTOGRAFÍA DE SECTORES Y UNIDADES AMBIENTALES DISCRIMINADAS A PARTIR DE INFORMACIÓN DEL SENSOR (T.M.) DEL LANDSAT-5 EN LA COMARCA DEL VALLE DE AYORA-COFRENTES

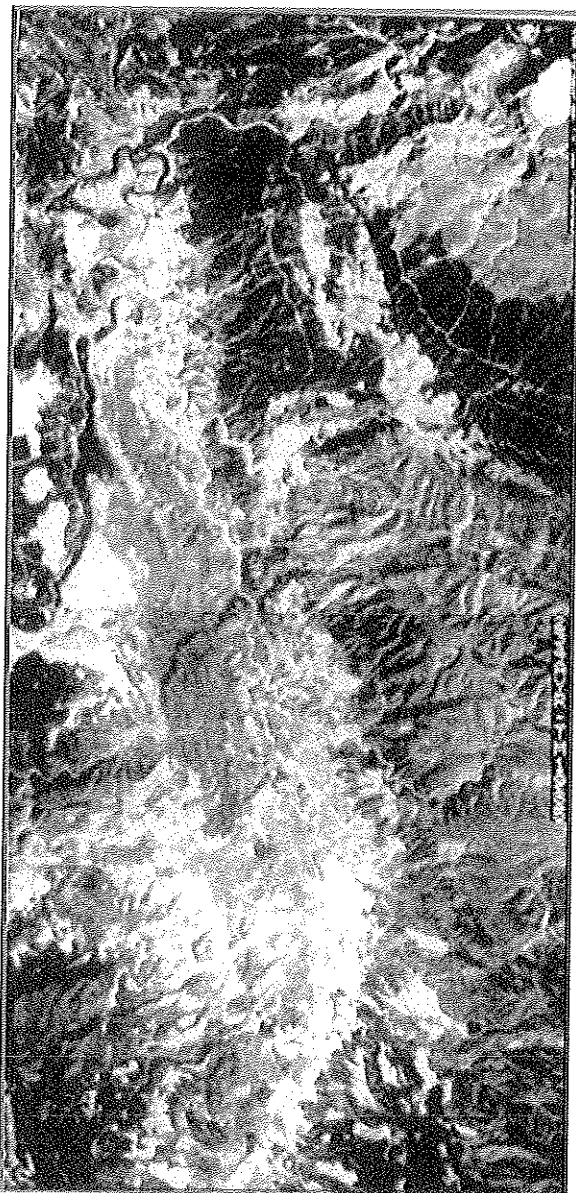
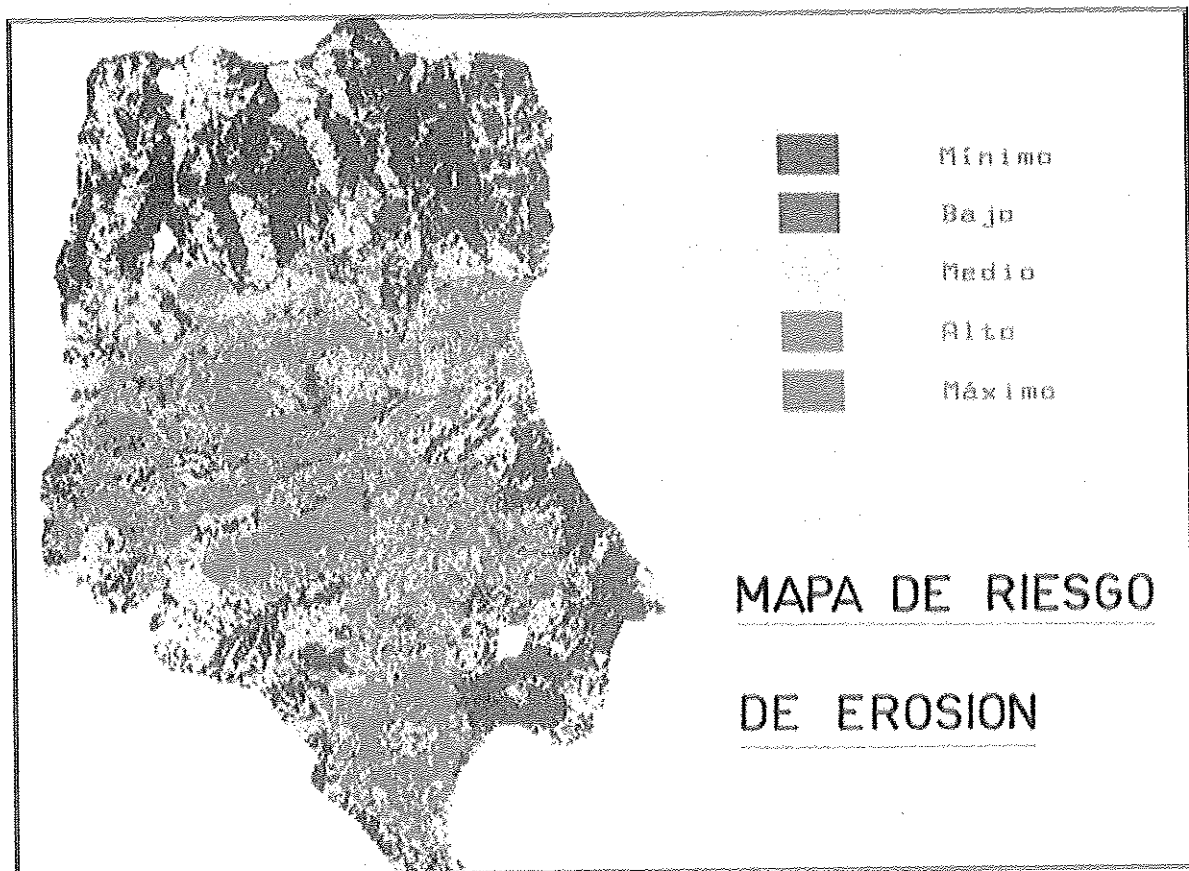


Imagen 1.- Falso color (FC), composición lineal de las bandas 234, sensor T.M. del Landsat-5. Zona piloto Ayora-Cofrentes (Valencia).

ESTUDIO DE LOS PROCESOS EROSIVOS UTILIZANDO IMÁGENES DE SATÉLITE

Mapa de riesgo de erosión.

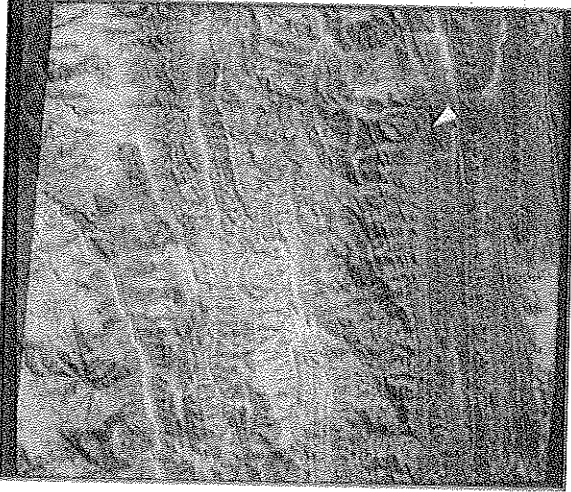
INTERPRETACIÓN GEOLÓGICA Y ANÁLISIS DE IMÁGENES THEMATIC MAPPER Y PARES ESTEREOSCÓPICOS SPOT DE LA CORDILLERA ORIENTAL Y ZONA SUBANDINA DE BOLIVIA

Imagen 1.- Representación del anaglifo SPOT correspondiente a la zona C (60 x 60Km). Se ha señalado con una flecha la situación del Cabalgamiento Frontal Principal.

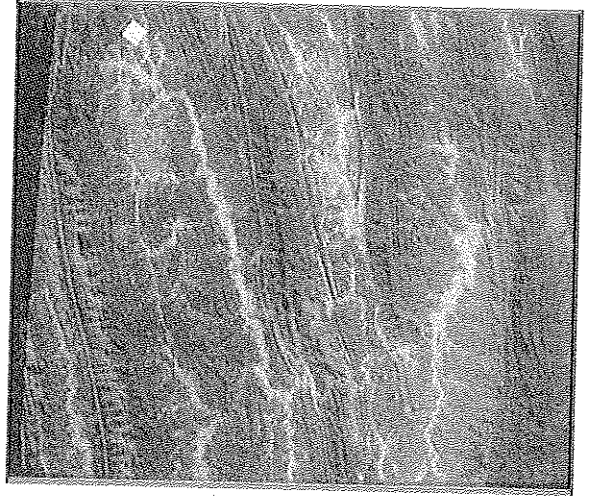


Imagen 2.- Representación del anaglifo SPOT correspondiente a la zona B (60 x 60 Km). Se ha señalado la situación de la ciudad de Monteagudo, en las cercanías de una terminación periclinal.

EVALUACIÓN DE IMÁGENES LANDSAT TM PARA LA DISCRIMINACIÓN LITOLÓGICA EN EL ÁREA DE ALCANTARILLA, (MURCIA)

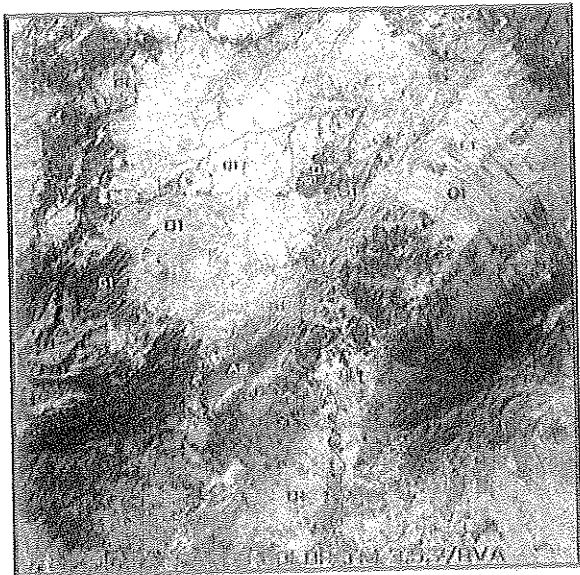


Imagen 1

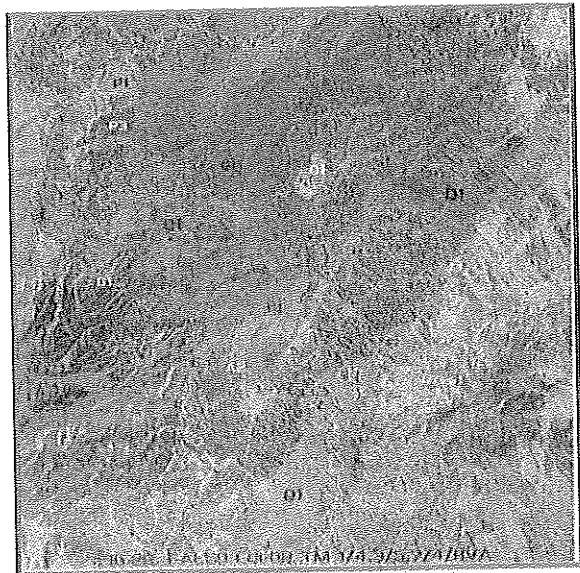


Imagen 2



Imagen 3

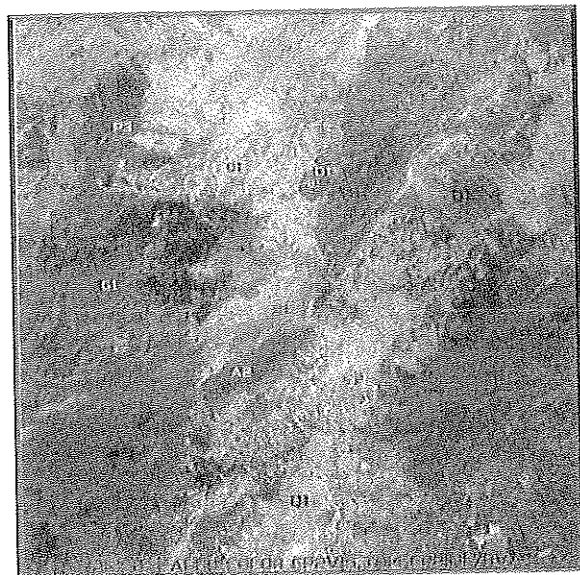


Imagen 4

SESIÓN ESPECIALIZADA 4

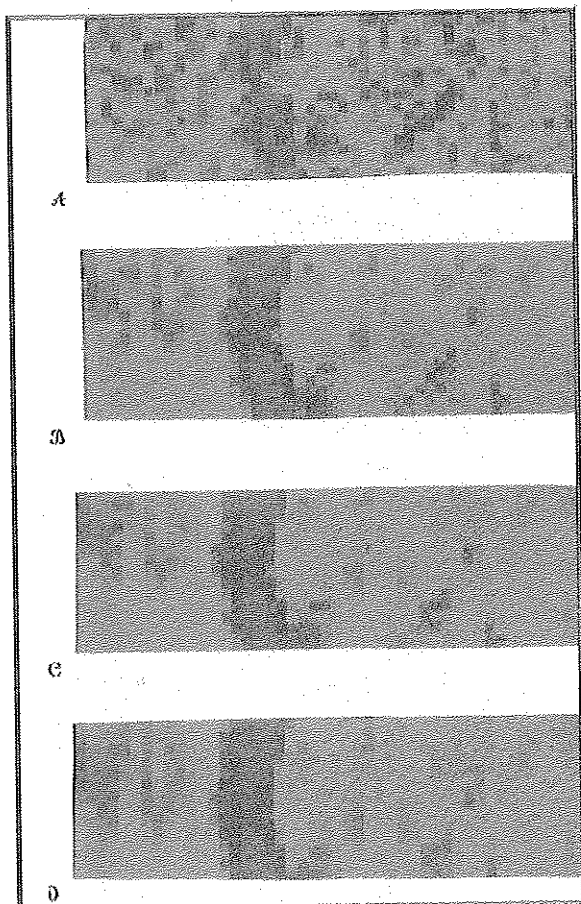
MÉTODOS GEOESTADÍSTICOS APLICADOS AL ANÁLISIS DE VARIABLES ESPACIALES EN TELEDETECCIÓN

Imagen 1. - Utilización del método de kriging como filtro de imagen: a) datos originales; b) filtrado con vecindad de 4 píxeles; c) vecindad de 8 píxeles y d) vecindad de 20 píxeles.

CLASIFICACION AUTOMATICA DE NUBES MEDIANTE IMAGENES METEOSAT

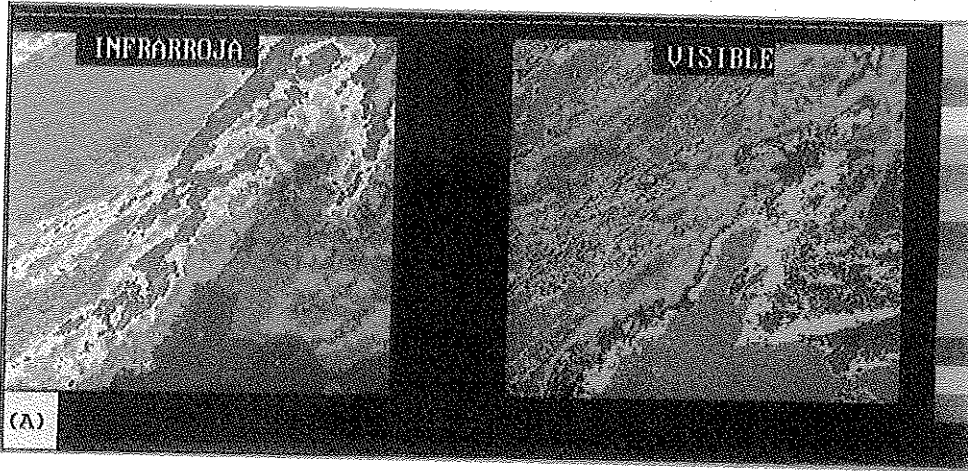


Imagen 1.- (A)
Imágenes originales, para clasificar, de los canales IR y VIS del METEOSAT (digitales).

Imagen 1.- (B)
Clasificación obtenida con las imágenes digitales. Cada color corresponde a un cluster.

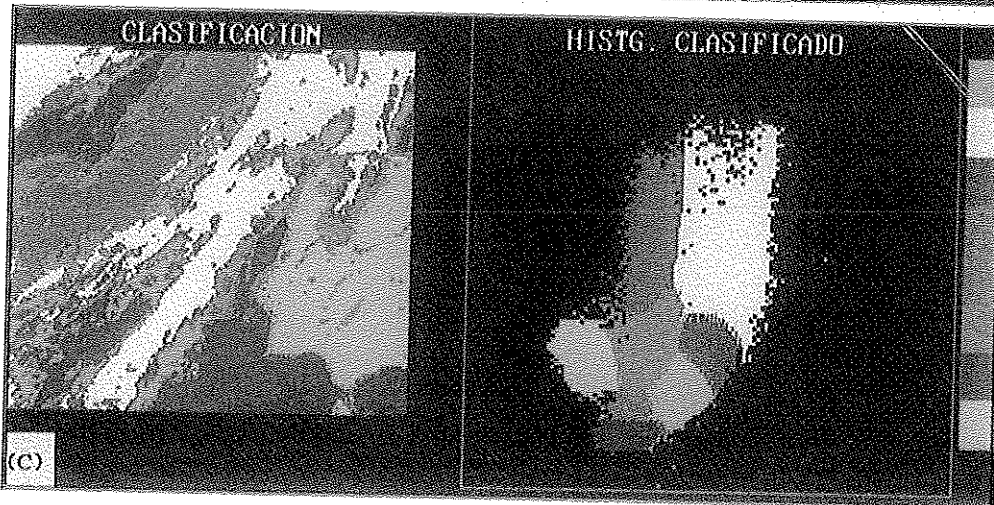
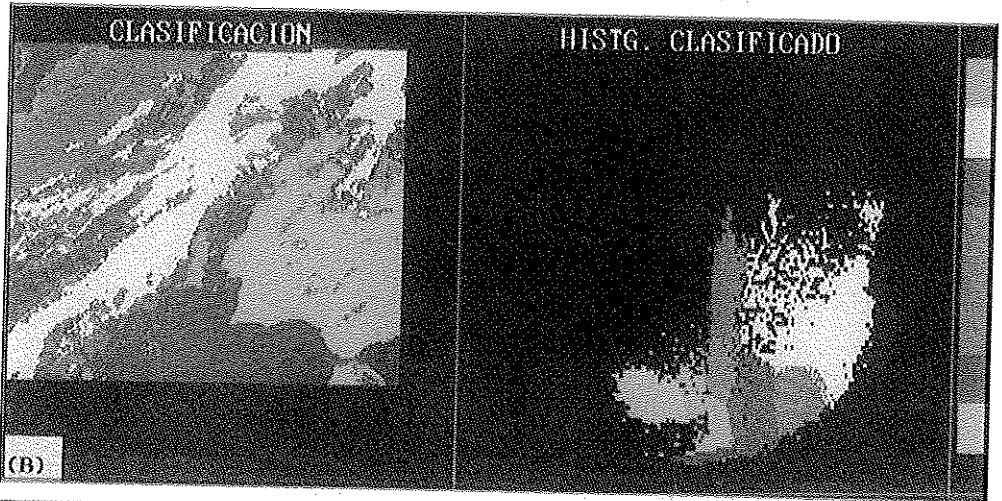


Imagen 1.- (C)
Clasificación obtenida por las imágenes analógicas.

INTEGRACION DE IMAGENES DE MUY DIFERENTE RESOLUCION ESPACIAL: APLICACION AL CASO SPOT HRV-NOAA AVHRR

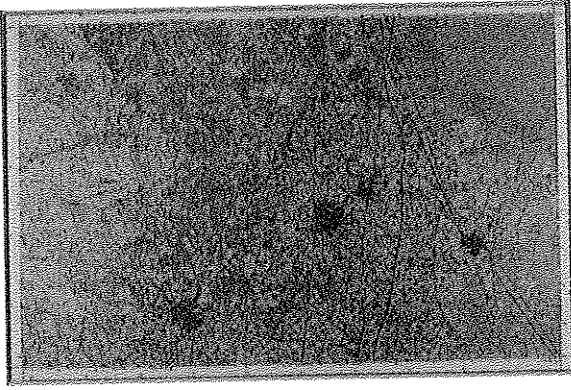


Imagen 1. a) Mapa de valores de índice de vegetación normalizado (NDVI) derivado a partir de datos SPOT XS en alta resolución espacial, correspondiente a la hoja 747-I del Mapa Topográfico Nacional a escala 1:25000.



Imagen 1. b) Mapa de valores de índice de vegetación normalizado (NDVI) derivado a partir de datos NOAA AVHRR en baja resolución espacial, correspondiente a la misma hoja 1:25.000 del Mapa Topográfico Nacional.

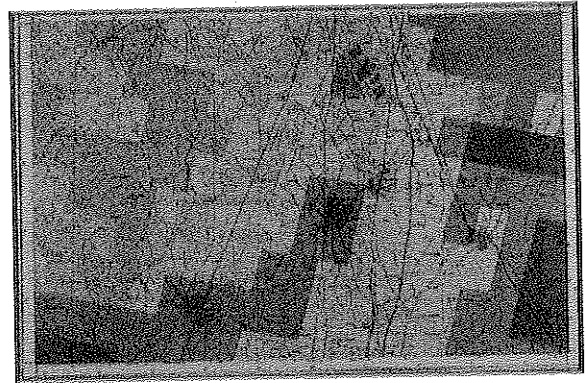


Imagen 1. c) Mapa de temperaturas construido a partir de datos NOAA AVHRR para la misma zona geográfica de las figuras a y b. Cada color representa un intervalo de temperaturas de medio grado centígrado, variando desde el azul (más frío) hasta el rojo (más cálido).

SESIÓN ESPECIALIZADA 5

LEVANTAMIENTO GRÁFICO POR TELEDETECCIÓN DE LAS SUPERFICIES DE REGADÍO EN LAS COMARCAS AGRARIAS DE BENAVENTE Y LOS VALLES, Y CAMPOS-PAN EN LA PROVINCIA DE ZAMORA

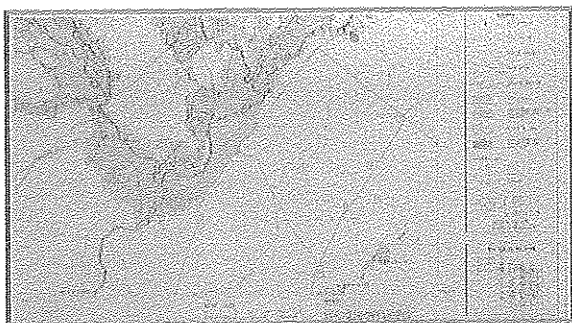


Figura 3.- Cartografía de superficie irrigada.

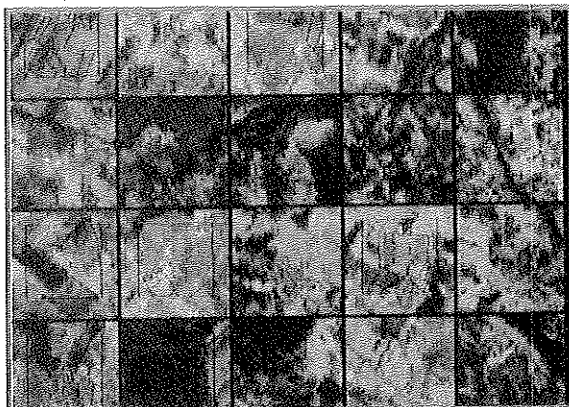


Imagen 1.- Imagen-compuesto con información vectorial.

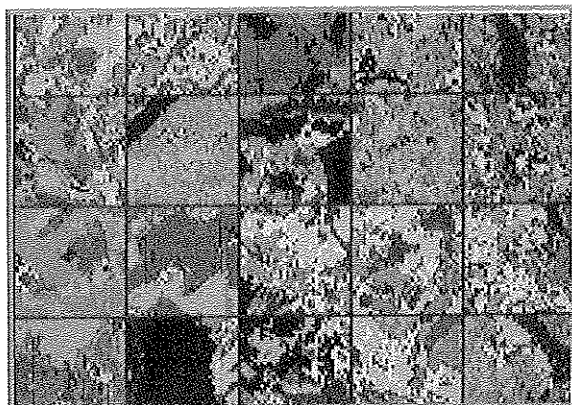


Imagen 2.- Imagen-compuesto clasificada.

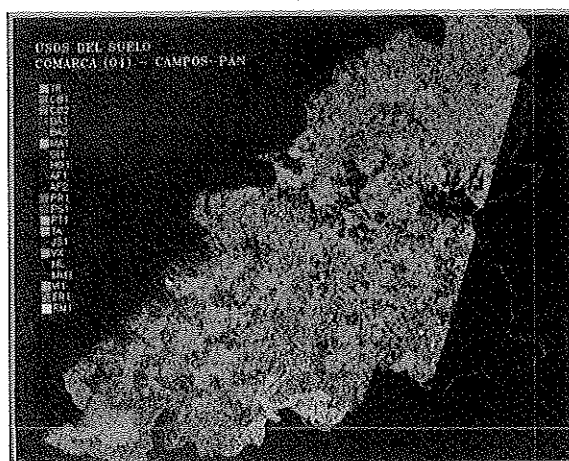


Imagen 3.- Mapas de usos del suelo en la comarca de Campos-Pan.

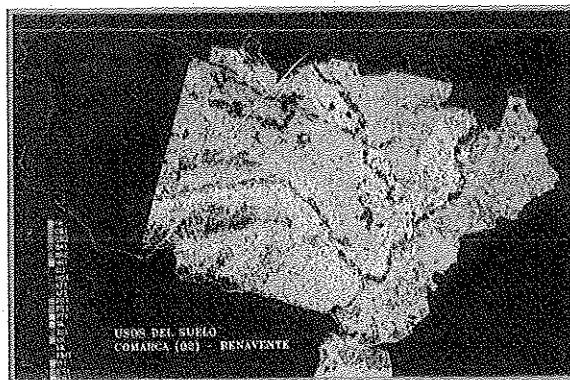


Imagen 4.- Mapa de usos del suelo en la comarca de Benavente y Los Valles.

EVOLUCIÓN DE LAS SUPERFICIES CULTIVADAS EN REGADÍO EN EL ENTORNO DEL PARQUE NACIONAL DE DOÑANA

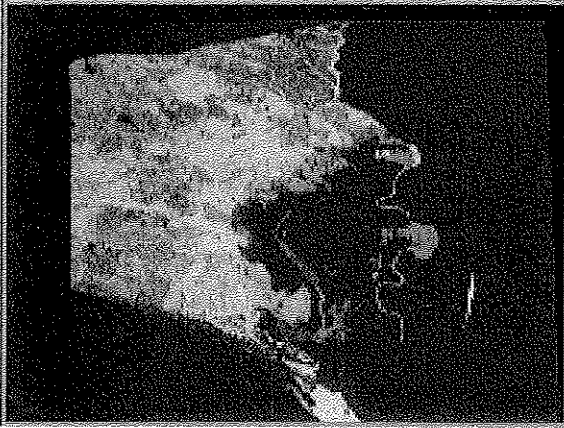


Imagen 1.- NDVI del área en estudio del acuífero 27. En rojo el NDVI el 4 de agosto de 1988, en verde el NDVI el 13 de junio de 1978.

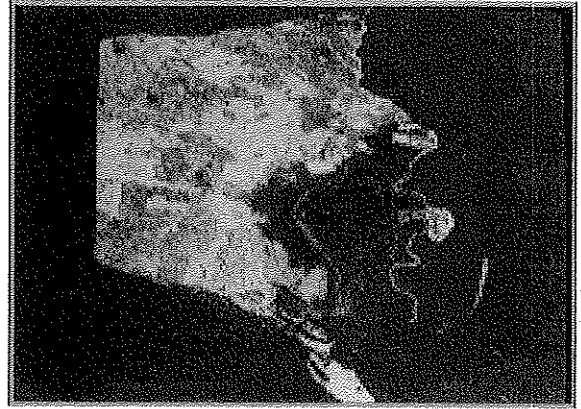


Imagen 2.- NDVI del área del acuífero 27. En rojo el NDVI el 4 de agosto de 1988. En verde el NDVI el 13 de agosto de 1989.

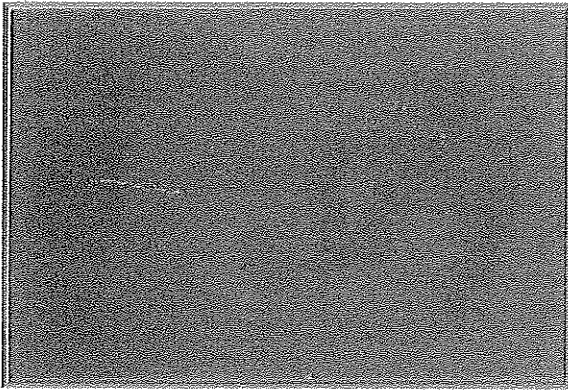


Imagen 3.- En rojo cultivos en regadío en 1978.

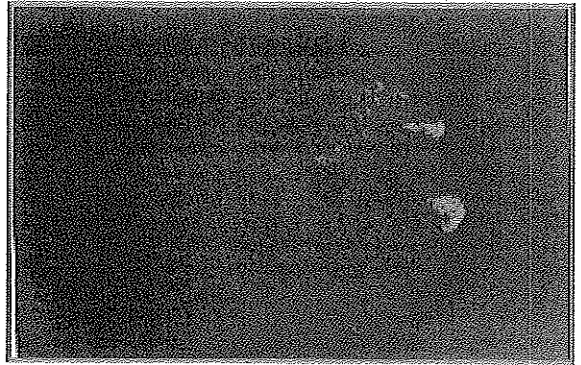


Imagen 4.- En rojo cultivos en regadío en 1988.

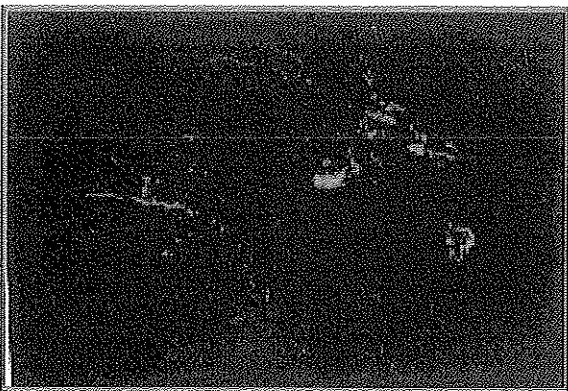


Imagen 5.- En rojo cultivos en regadío en 1989.

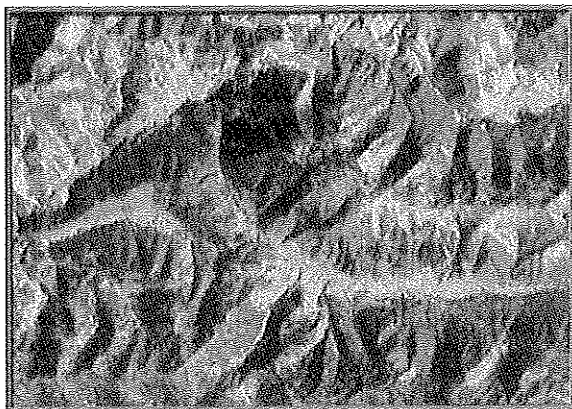
**EFFECTOS DE LA CORRECCIÓN DEL EFECTO TOPOGRÁFICO EN LAS IMÁGENES LANDSAT
SOBRE LA CLASIFICACIÓN DE LOS USOS DEL SUELO**

Imagen 1.- Composición en falso color de la zona de estudio antes de realizar la corrección radiométrica. Para su presentación se han asignado los colores rojo, verde y azul a las bandas 4, 5 y 3 de la imagen original rectificadas geométricamente al sistema de proyección UTM.



Imagen 2.- Composición en falso color de la zona de estudio después del proceso de corrección radiométrica. La composición es idéntica a la presentada en la Imagen 1, pero puede observarse que, al menos visualmente, el efecto topográfico se ha reducido de forma sensible. El aspecto rotado se debe al corte efectuado para su ajuste a una hoja estándar 1:25.000.

LOCALIZACIÓN DE ANOMALÍAS PRODUCIDAS POR ACTIVIDAD ANTRÓPICA, EN LAS ZONAS DEL BAJO LLOBREGAT Y CUBETA DE LA LLAGOSTA



Imagen 1.- LA LLAGOSTA, (10-7-11).

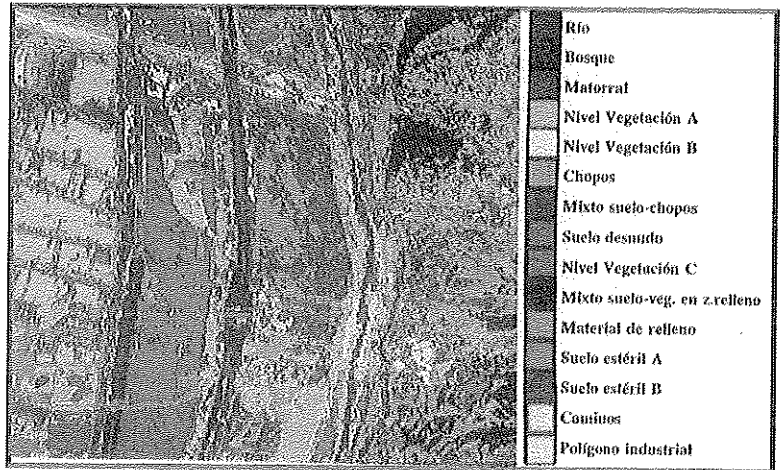


Imagen 2.- Clasificación LA LLAGOSTA.

**CARTOGRAFÍA Y ESTADÍSTICA DE CULTIVOS EN RIEGO EN EL ENTORNO DE DOÑANA
MEDIANTE LA INTEGRACIÓN DE S.I.G. Y CLASIFICACIÓN DE IMÁGENES LANDSAT-TM**



Imagen 1.- Detalle de salida gráfica correspondiente a la clasificación de la imagen de 13/8/91, donde se observan numerosas confusiones.

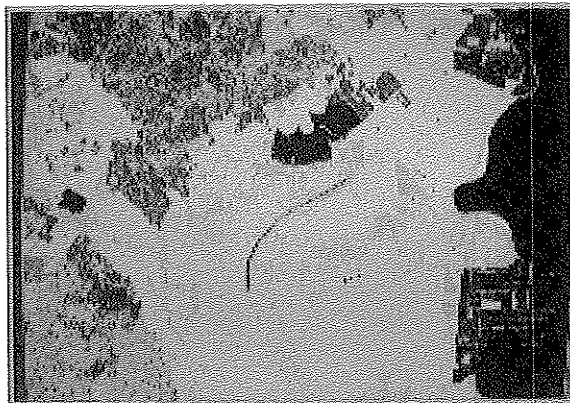


Imagen 2.- Detalle de de la misma clasificación de la imagen 1, una vez asistida por S.I.G.. Se aprecia una atenuación notable de las confusiones.

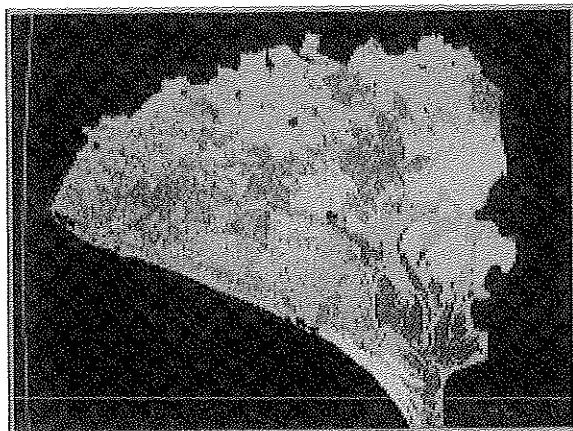


Imagen 3.- Salida gráfica de la clasificación asistida por S.I.G. de la zona de estudio para la fecha de mayo. En rojo cultivos herbáceos en riego; y en naranja, cítricos.

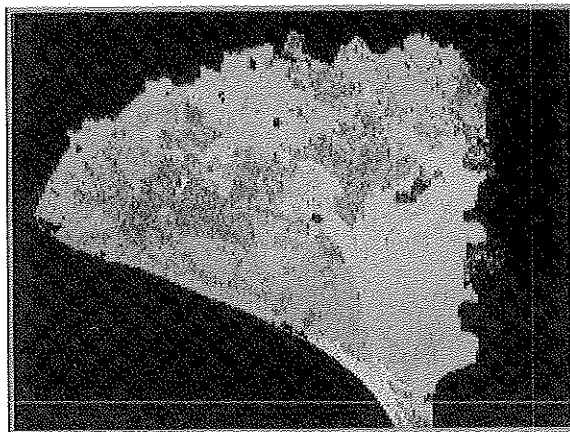


Imagen 4.- Salida gráfica de la clasificación asistida por S.I.G. de la zona de estudio para la fecha de agosto. En rojo cultivos herbáceos en riego; en naranja, cítricos; en rojo oscuro, arrozales.

EL USO DE LA TELEDETECCIÓN EN LA CARACTERIZACIÓN CLIMÁTICA APLICADA A LA AGRICULTURA

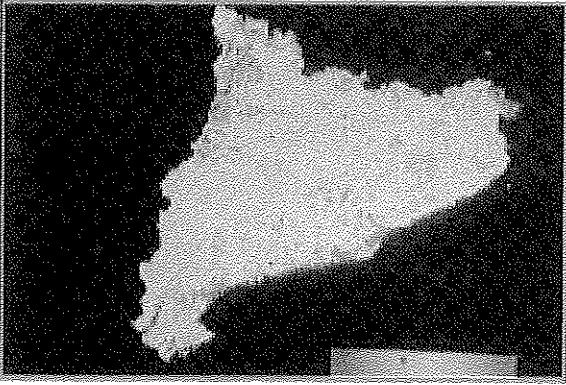


Imagen 1.

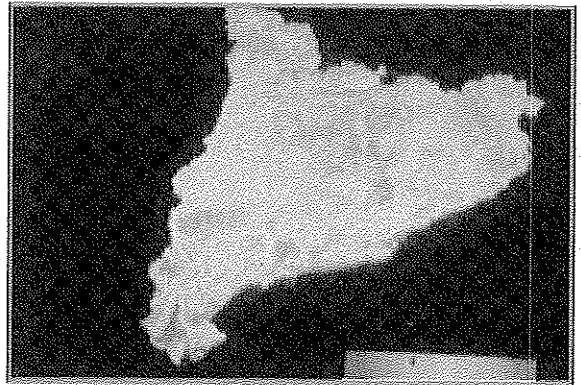


Imagen 2.

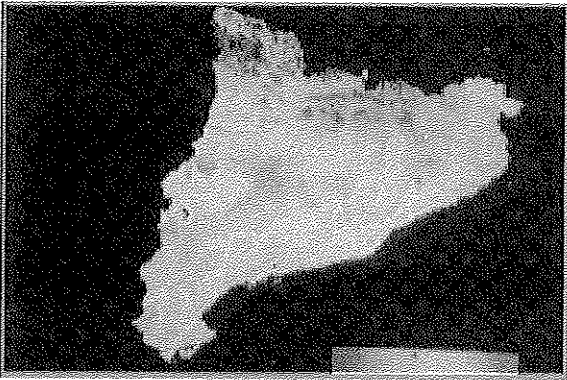


Imagen 3.

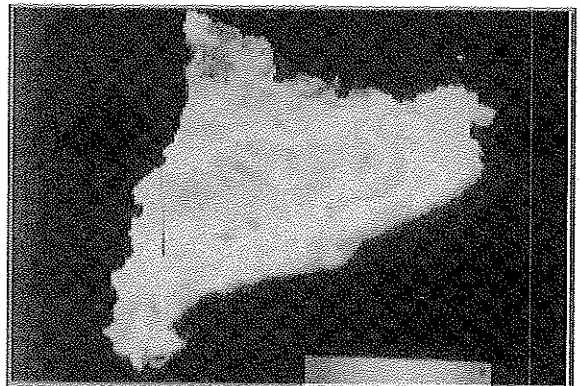


Imagen 4.

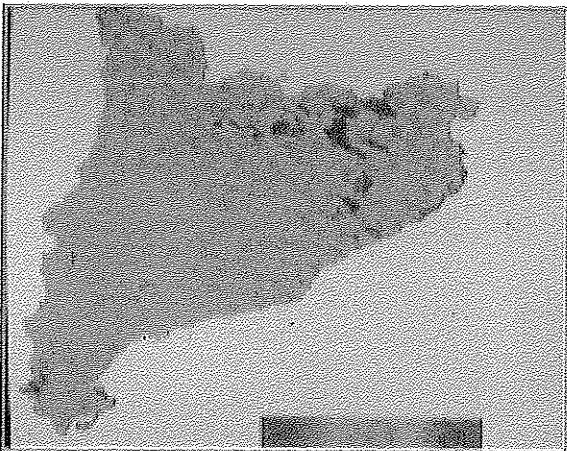


Imagen 5.

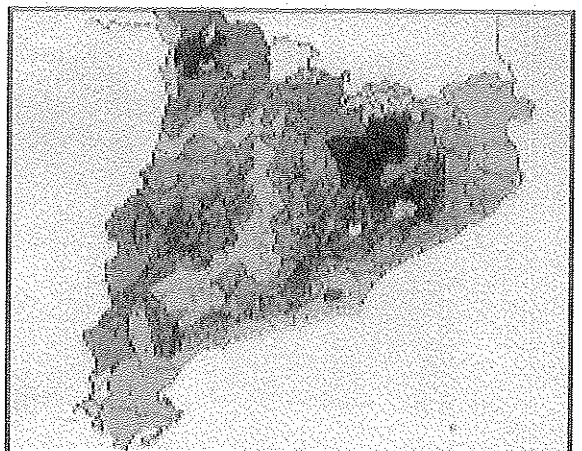
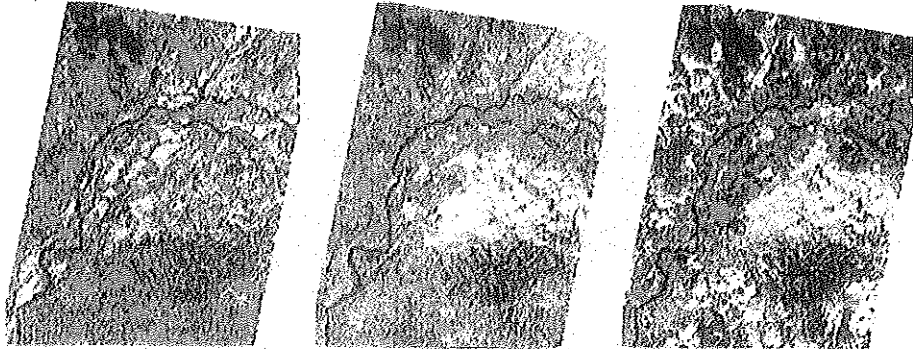


Imagen 6.

METODOLOGÍA PARA LA CLASIFICACIÓN DE IMÁGENES PROCEDENTES DEL SENSOR LANDSAT MSS EN ANÁLISIS MULTITEMORALES

FIGURA 5. COMPOSICIÓN EN FALSO COLOR Y RESULTADOS DE LA CLASIFICACIÓN.

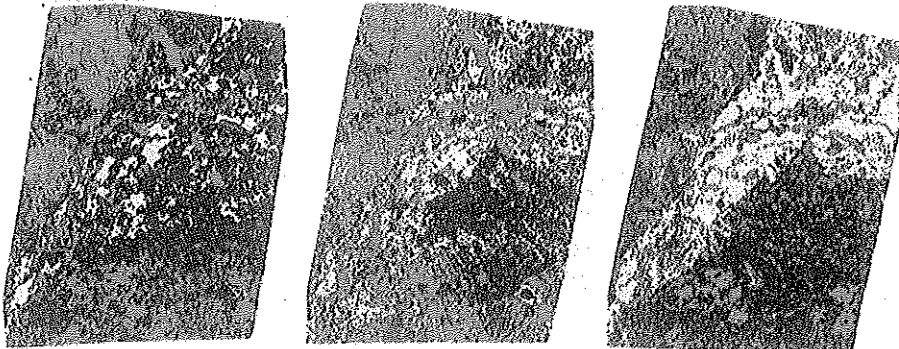


ABRIL

JUNIO

SEPTIEMBRE

Clasificador de máxima verosimilitud

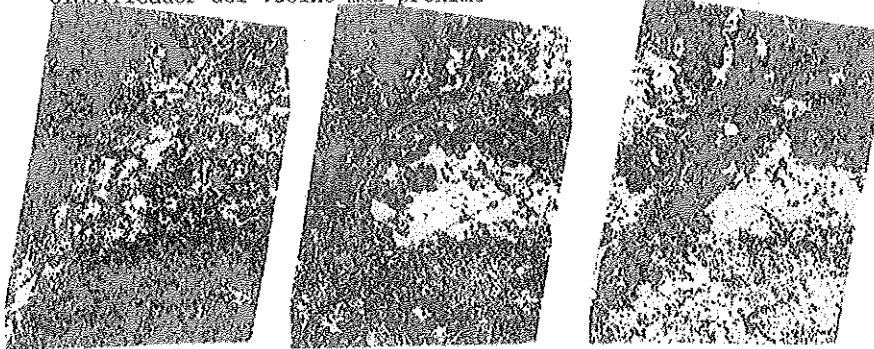


ABRIL

JUNIO

SEPTIEMBRE






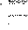
Clasificador del vecino más próximo



ABRIL

JUNIO

SEPTIEMBRE

- | | |
|-------------------------------------------------------------------------------------------------------|----------------------------------------------------------------------------------------------------|
|  Vegetación escasa |  Suelo desnudo |
|  Vegetación media |  Agua |
|  Vegetación densa |  No clasificado |

SESIÓN ESPECIALIZADA 6

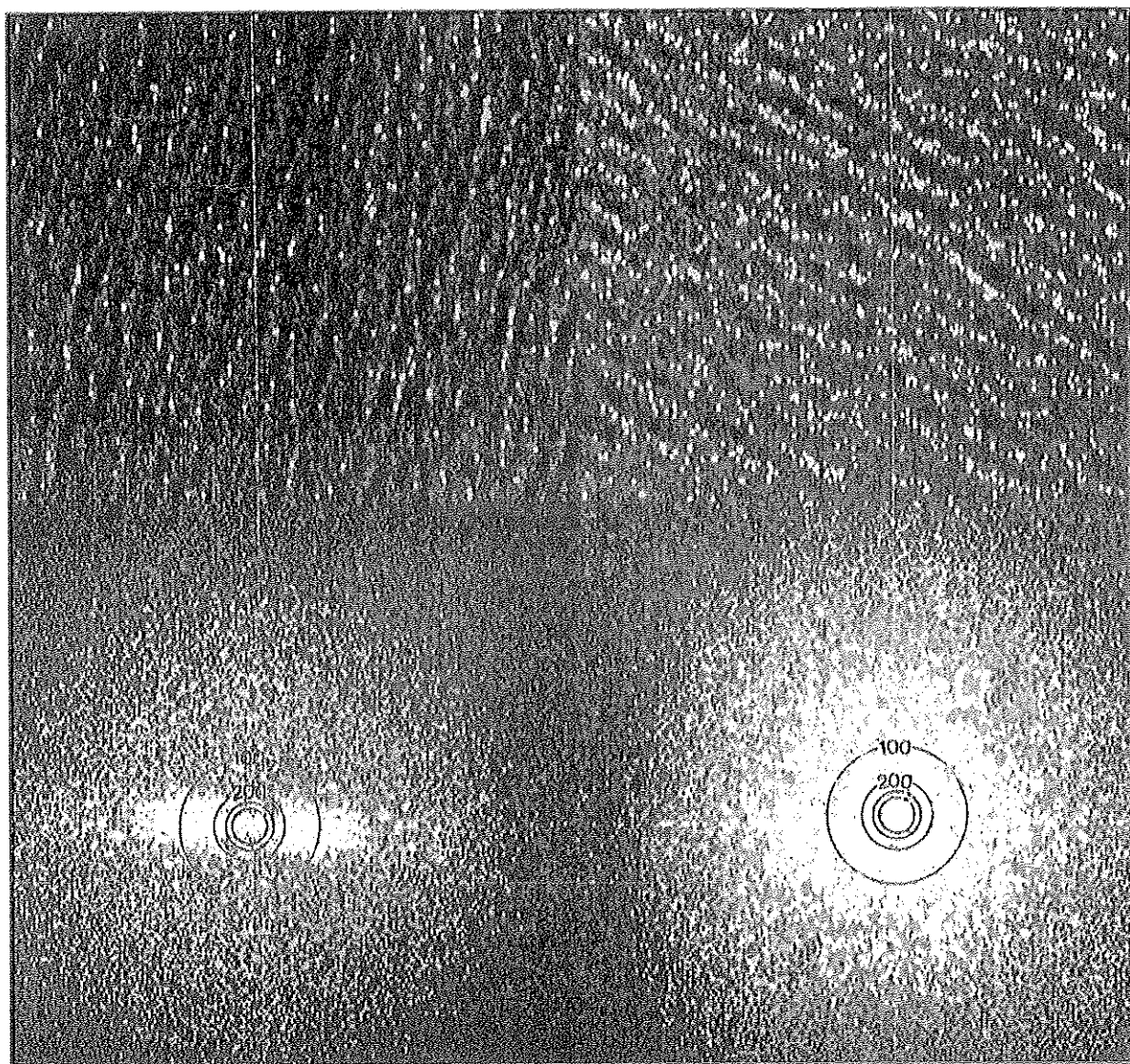
PRINCIPIOS FÍSICOS DE FUNCIONAMIENTO Y APLICACIONES DEL RADAR DE APERTURA SINTÉTICA EN OCEANOGRAFÍA

Imagen 1.- Imágenes SAR de trenes de oleaje y sus transformadas de Fourier.

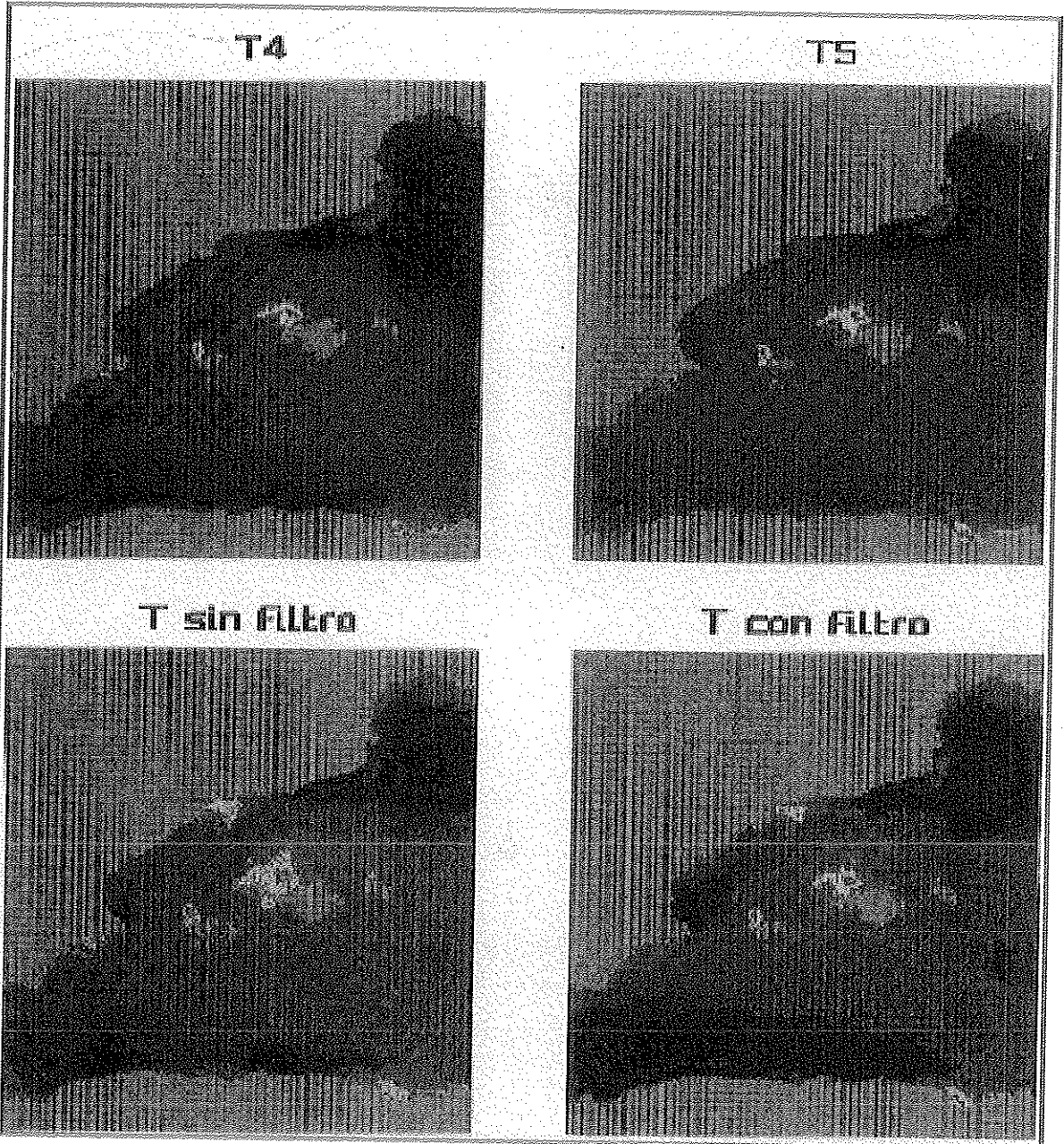
ALGUNAS SUGERENCIAS SOBRE EL USO DEL MÉTODO SPLIT-WINDOW PARA DETERMINAR LA TEMPERATURA SUPERFICIAL DEL MAR

Imagen 1.- Mapa de temperaturas obtenido por el satélite (canales 4 y 5), y mediante la ecuación (2) sin/con suavizado de la imagen T4-T5.

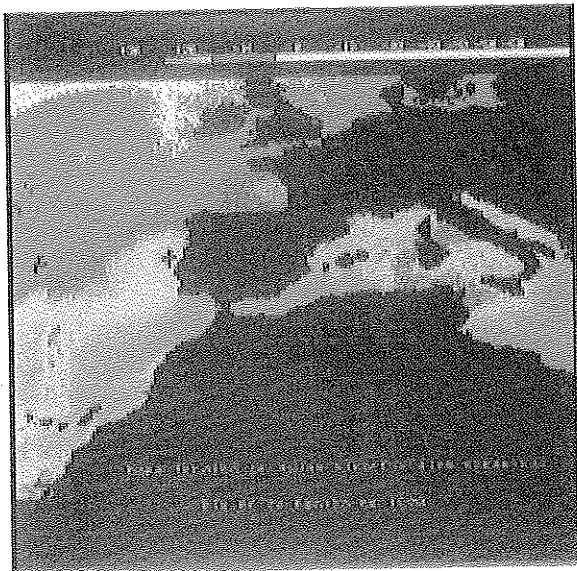
MONITORIZACIÓN TÉRMICA DE AGUAS OCEÁNICAS PARA EXPLOTACIÓN DE RECURSOS PESQUEROS UTILIZANDO EL SATÉLITE METEOSAT

Imagen 1.- Mapa Térmico correspondiente al día 6 de agosto de 1990.

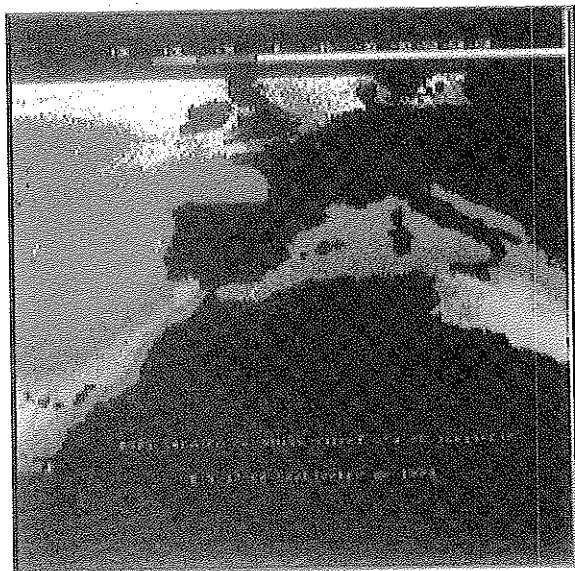


Imagen 2.- Mapa Térmico correspondiente al día 17 de septiembre de 1990.

SISTEMA DE EXTRACCIÓN DE ISOTERMAS OCEÁNICAS A PARTIR DE SATÉLITES METEOROLÓGICOS

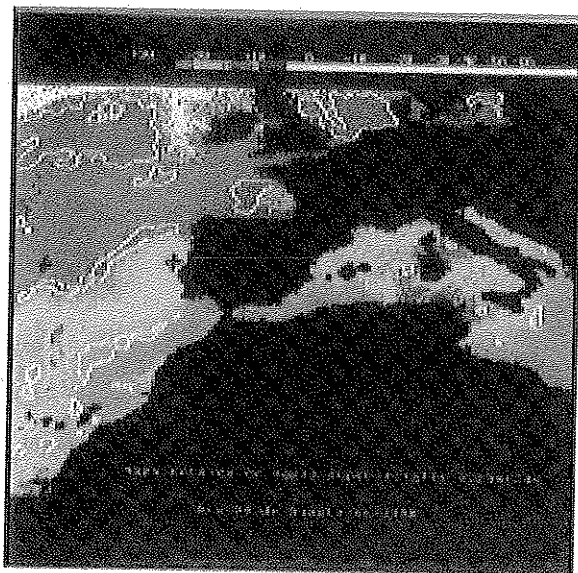


Imagen 3.1.- Resultado de aplicar el MSED a una imagen.

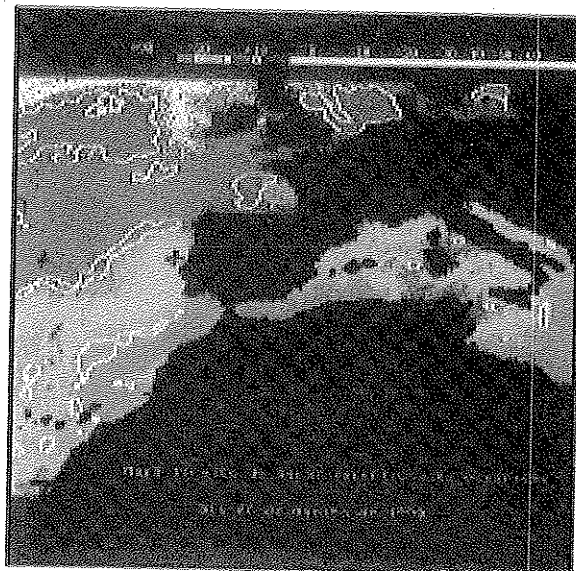


Imagen 3.2.- Resultado de aplicar el CSED a la misma imagen.

LA TELEDETECCIÓN COMO INSTRUMENTO PARA EL ESTUDIO DE LAS ESTRUCTURAS OCEANOGRÁFICAS EN LAS ISLAS CANARIAS

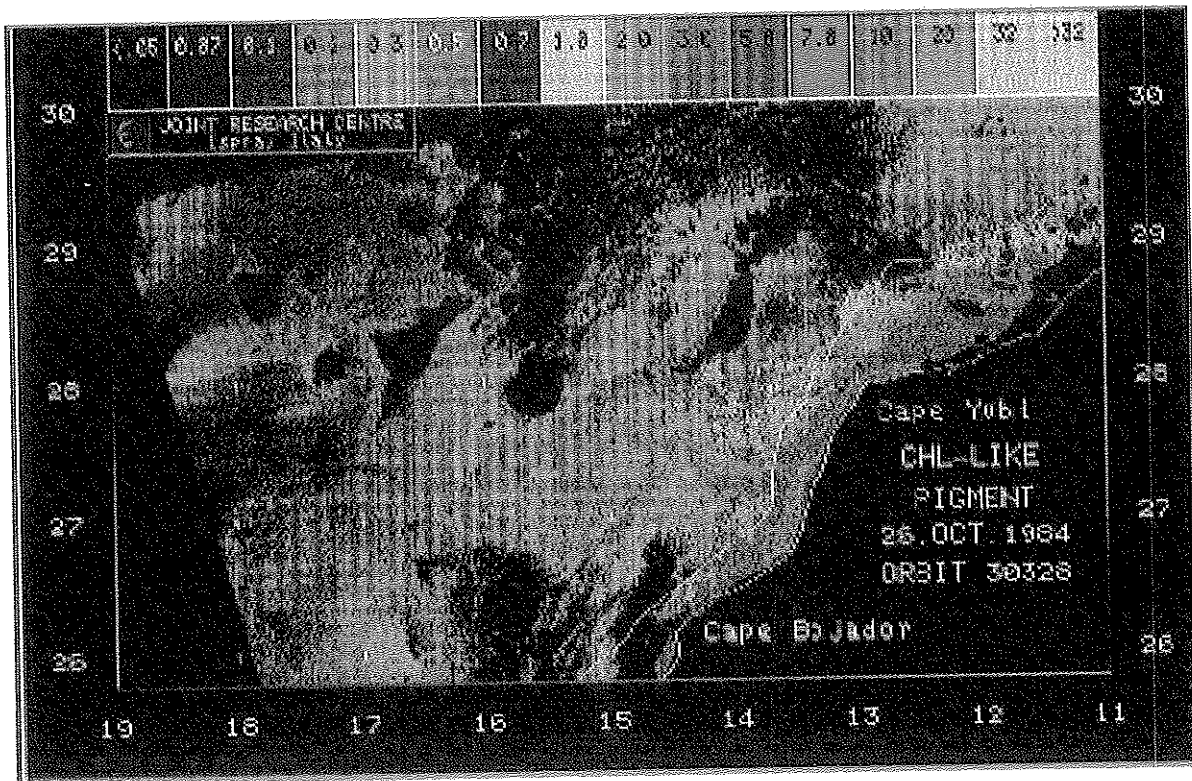


Imagen 1.- Imagen de concentración de pigmento de tipo clorofílico, correspondiente al 26 de octubre de 1984.

ESTIMACIÓN DE FACTORES DEL MEDIO MARINO LITORAL CON IMÁGENES TM Y MOS MESSR EN EL ÁMBITO DEL MAR MENOR (Murcia)

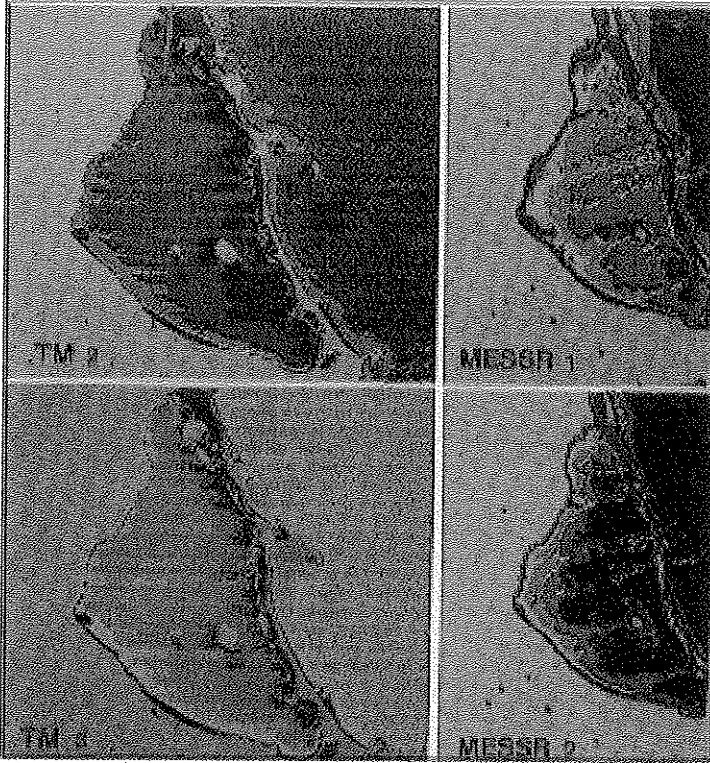


Imagen 1.- Segmentación de números digitales en bandas Thematic Mapper 2 y 3 (Mayo 1990) espectralmente equivalentes. Colores asignados a ND de bajos a altos: azul oscuro, rosa, verde, añil, rojo, y azul turquesa. Tierra enmascarada utilizando la banda 7 en TM y banda 4 en MESSR.

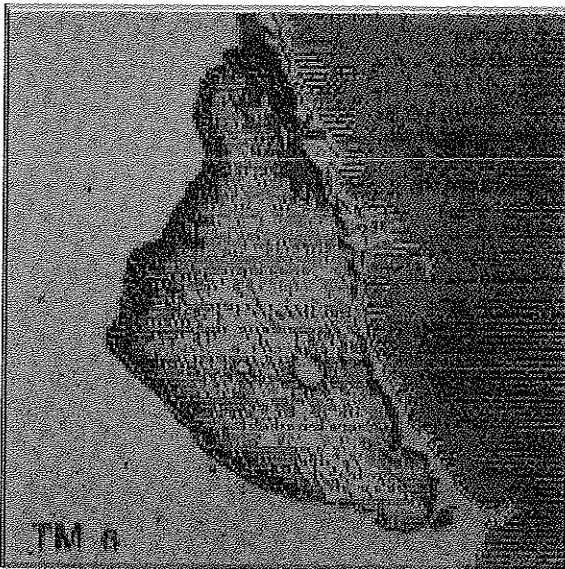


Imagen 2.- Segmentación de ND en imágenes Thematic Mapper, banda 6. Colores asignados de bajos a altos: azul oscuro, rosa, verde, añil, rojo y azul turquesa. Tierra enmascarada utilizando la banda 7.

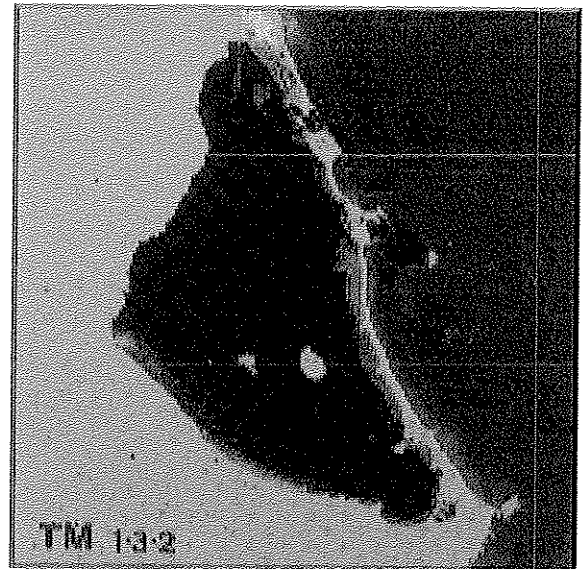


Imagen 3.- Composición de color con bandas Thematic Mapper 1 (azul), 3 (rojo) y 2 (verde), en una simulación de color natural. Tierra enmascarada utilizando la banda 7.

ESTUDIO DE LAS AGUAS DEL LITORAL DESDE PLATAFORMA AÉREA

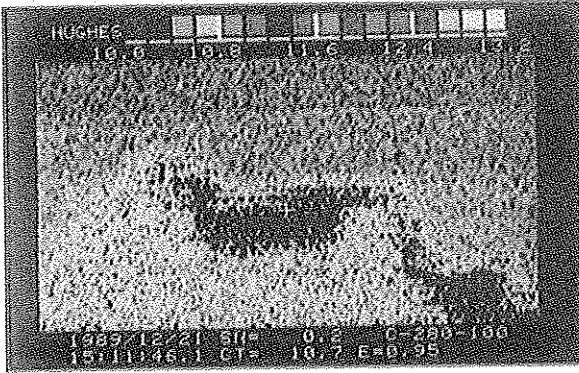


Imagen 1.- Afloramiento de aguas frías en el litoral del Delta del Ebro.

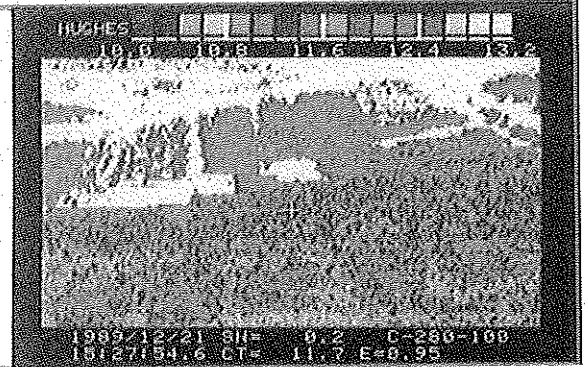


Imagen 2.- Termograma de las aguas de la Bahía de Los Alfaques (pueden distinguirse las mejilloneras).

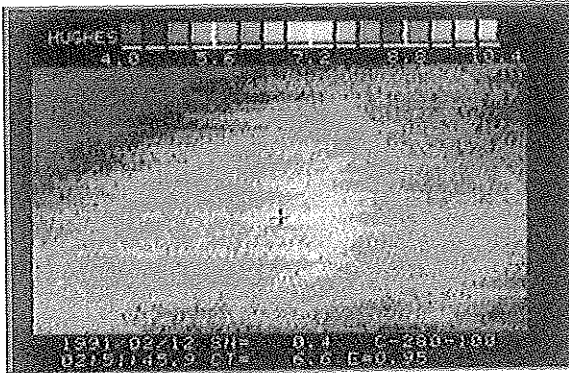


Imagen 3.- Localización en superficie del penacho procedente de una emisión de aguas residuales.

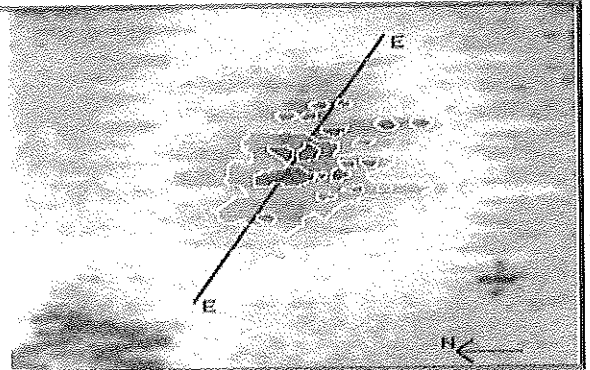


Imagen 4.- Isoleínas y eje principal de una interacción superficie del mar-penacho de aguas residuales.

CIRCULACIÓN SUPERFICIAL EN EL MAR BALEAR DURANTE EL INVIERNO A PARTIR DE IMÁGENES NOAA-AVHRR

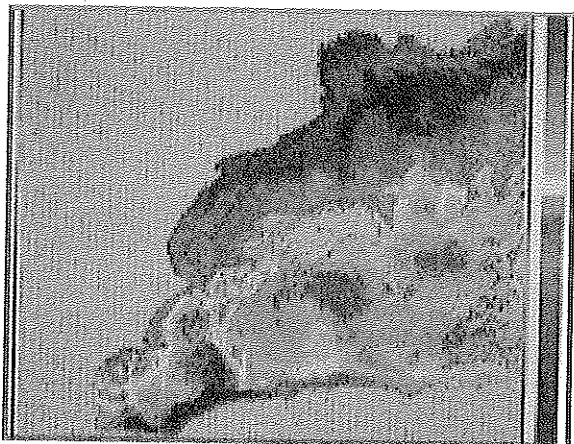


Imagen 1

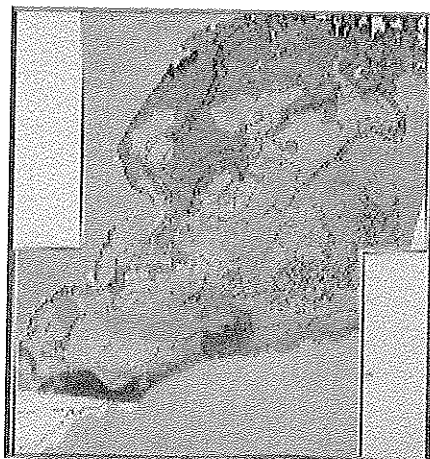


Imagen 2

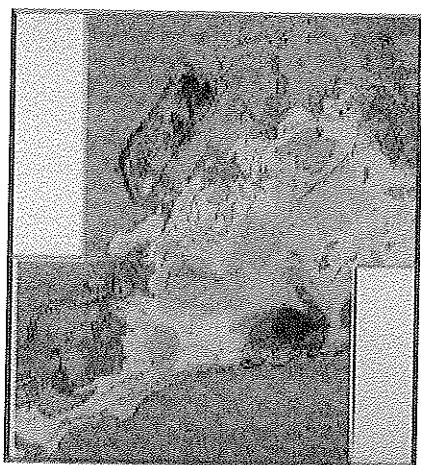


Imagen 3

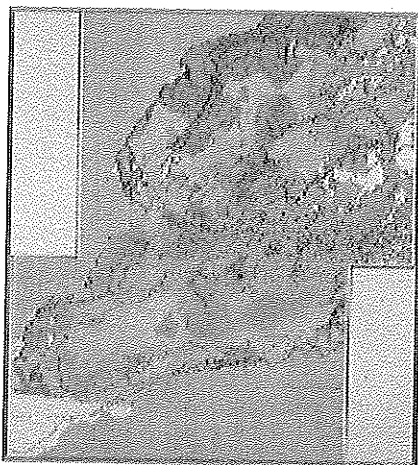


Imagen 4

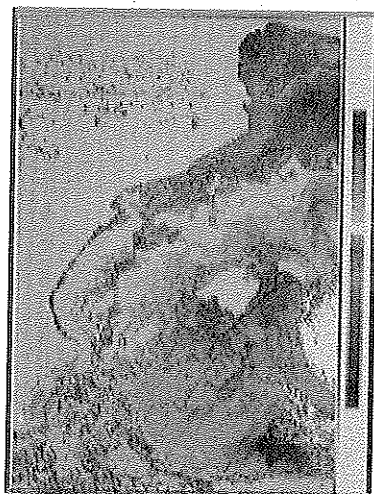


Imagen 5



Imagen 6

RELACION ENTRE LA PESQUERÍA CANARIA DEL ATÚN LISTADO (*Katsuwonus pelamis*) Y LAS CARACTERÍSTICAS OCEANOGRÁFICAS OBSERVADAS MEDIANTE IMÁGENES AVHRR DE ALTA Y BAJA RESOLUCIÓN

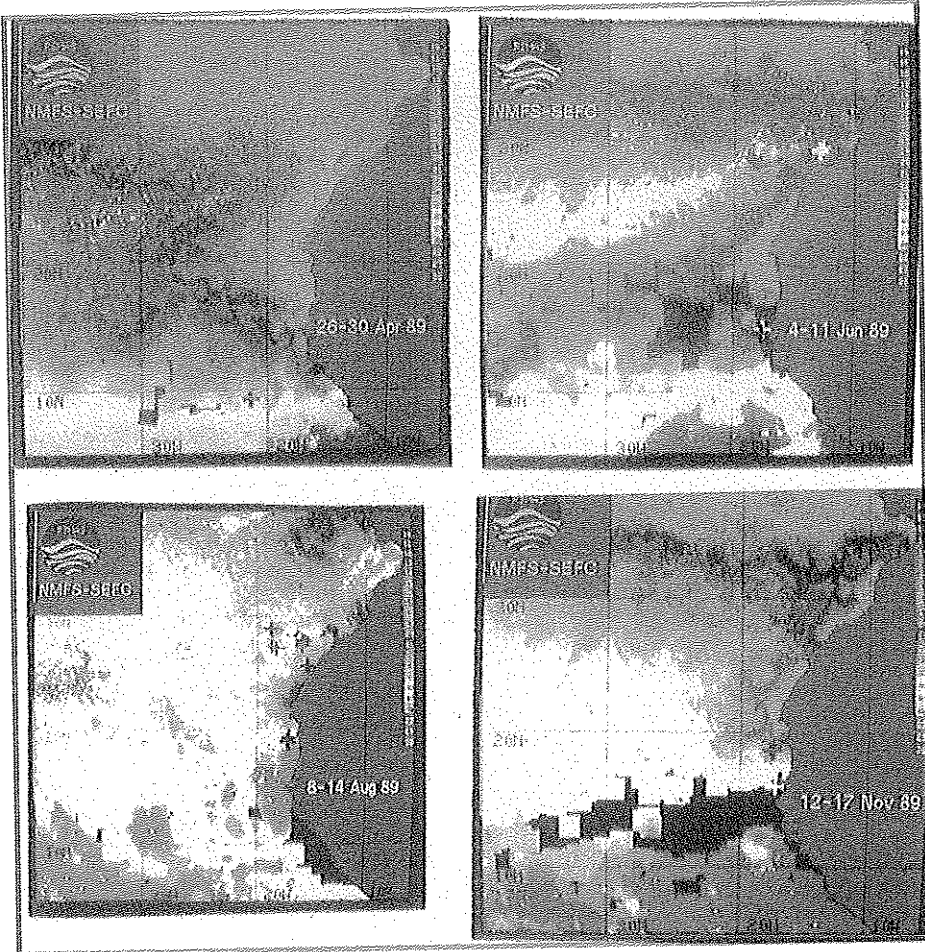


Imagen 1 a, b, c, d.- Imágenes GAC correspondientes al área 10-40 W. Los puntos azules se corresponden con CPUE 0.8 tm/h, los violetas con CPUE 0 y 0.8 tm/h., los blancos implican CPUE=0.

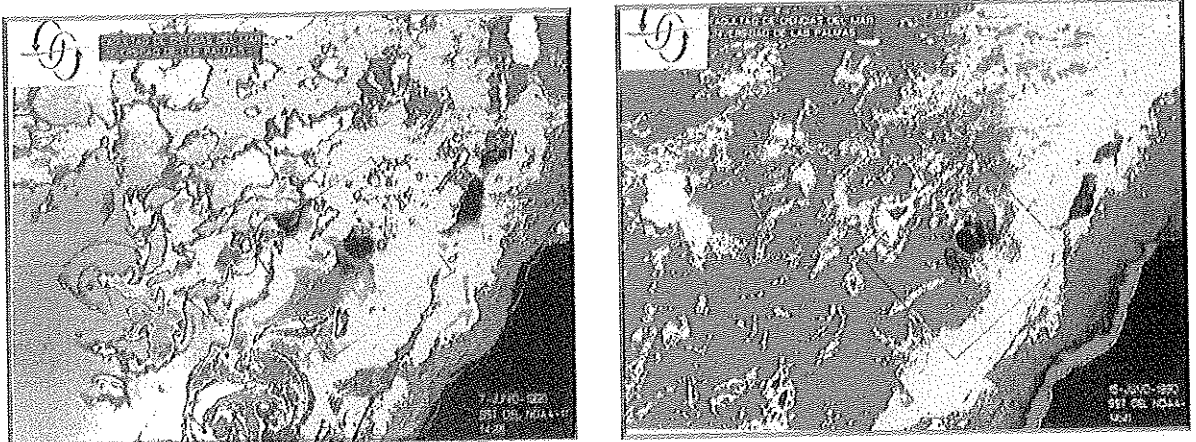


Imagen 2 a y b.- Imágenes LAC correspondientes a junio 90. Los círculos expresan rendimientos CPUE en tm/h.

SESIÓN POSTERS

PROCESAMIENTO DIGITAL DE IMÁGENES CON HETEROGENEIDAD DE GRANO FINO: EL CASO DEL PAISAJE KÁRSTICO DEL PARAJE NATURAL DEL TORCAL DE ANTEQUERA

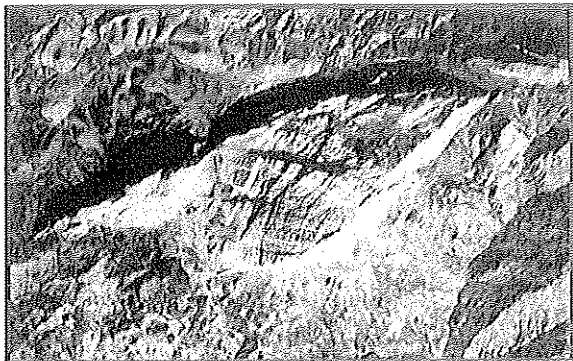


Imagen 1.- Imagen de la región del Torcal de Antequera, con realce lineal de la banda TM 5.

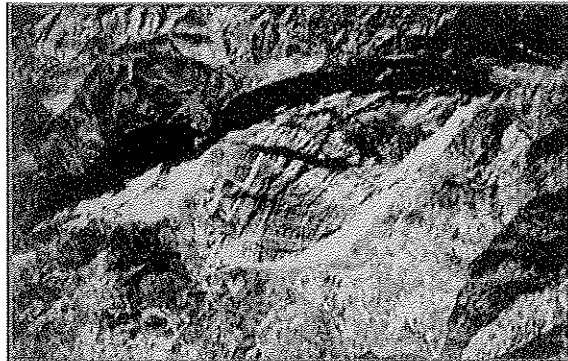


Imagen 2.- Imagen en color falso de la región del Torcal de Antequera, compuesta con las bandas TM2, 3 y 4.

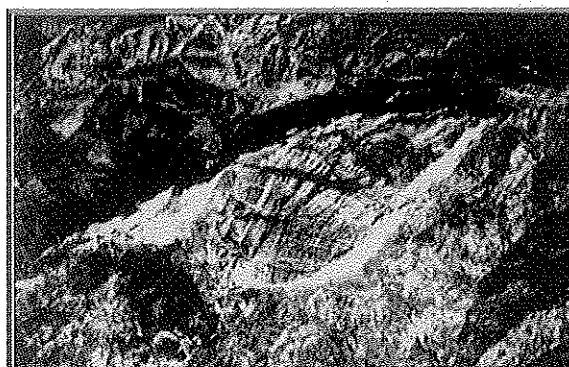


Imagen 3.- Imagen de la región del Torcal de Antequera compuesta con las bandas TM 1,2 y 3.

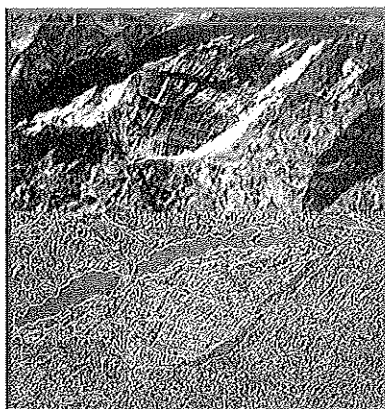


Imagen 4.- Aplicación de un filtro no-direccional laplaciano a la banda TM 1.

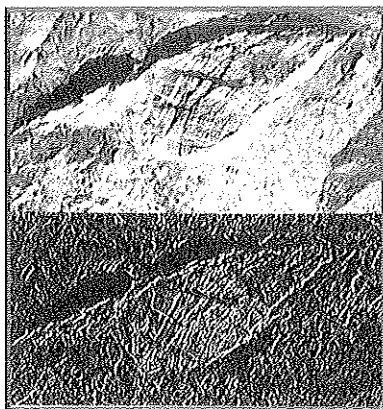


Imagen 5.- Aplicación a la banda TM 5 de un filtro direccional de gradiente EFDX para realzar los lineamientos con dirección norte-sur



Imagen 6.- Resultado de la suma a la imagen original de un filtro direccional (Edgesenh+cosh) para realzar la red de diaclasamiento del Torcal de Antequera.

SELECCIÓN DE ÓRBITAS DE LOS SATÉLITES OCEANOGRÁFICOS

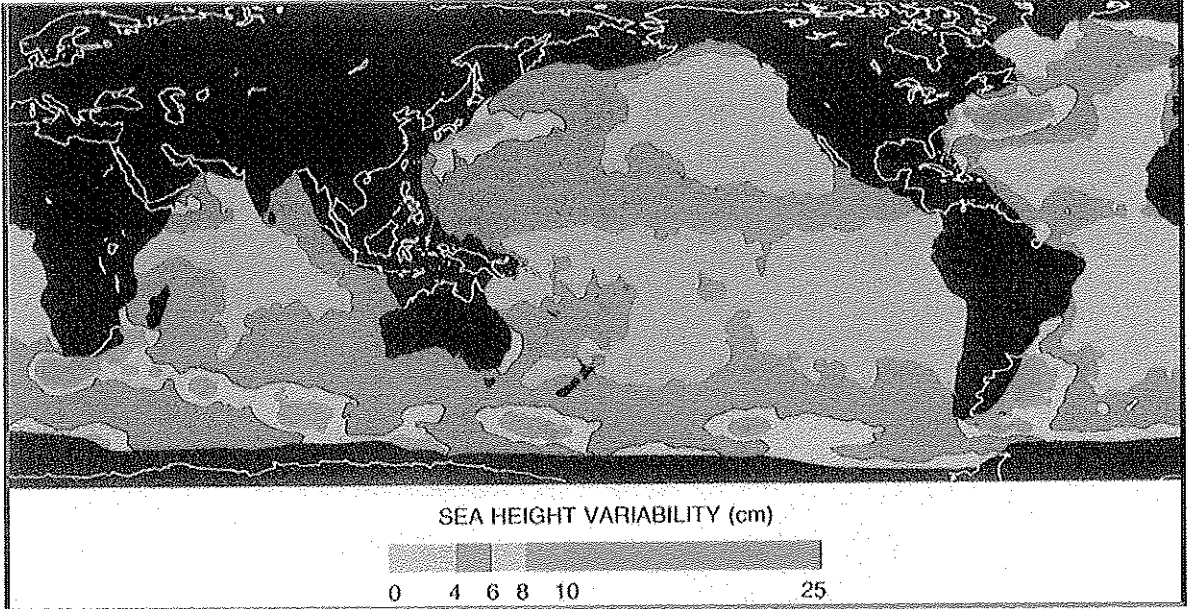
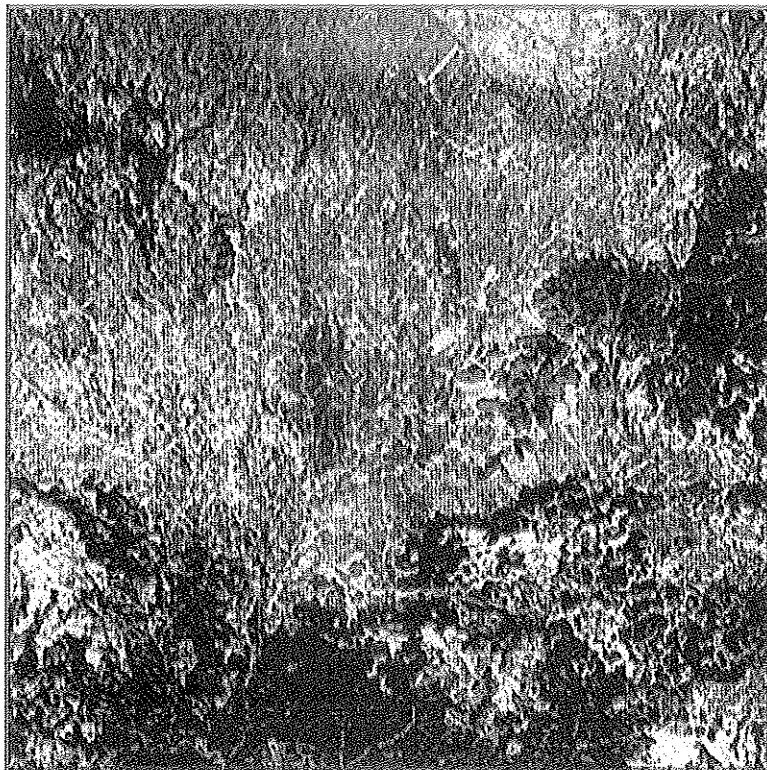


Imagen 1.- Variabilidad de la altura de la superficie marina por altimetría del SEASAT (Cheney&al.)

APLICACIÓN DE LAS IMÁGENES LANDSAT TM A LA CARTOGRAFÍA BÁSICA DE LA COMARCA EN LA PLANA DE REQUENA-UTIEL (VALENCIA)



Bk 1k / fg1Dap'	Poblaciones
Bk 1k / ca2Bap'	Bk 1k / mf2Dap'
Re / fg3Dap'	Bk / mg3 Cep'
Re Bk / qf2Bap'	Bo 1/cd2Dpx'
Bk / qf1Beq'	Bk / o3Cex'
Bk / qf1Beq'	Bk / mc3Cep'
je / qf1Beq'	

Imagen 1. Composición en Falso Color realizada con las bandas TM (rojo), TM4 (verde), TM5 (azul) del satélite LANDSAT-5.

CONFERENCIAS
INVITADAS

EL PROGRAMA DE OBSERVACIÓN DE LA TIERRA DE LA AGENCIA ESPACIAL EUROPEA. PRIMEROS RESULTADOS DEL SATÉLITE ERS-1

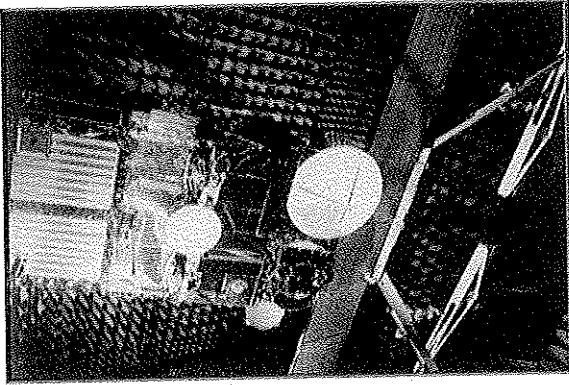


Imagen 1.- El satélite ERS-1 durante su montaje.



Imagen 2.- La primera imagen SAR d el ERS-1.

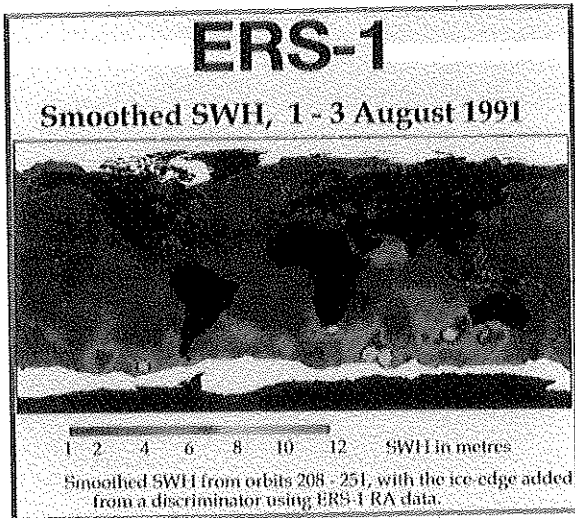


Imagen 3.- Primeros datos del Alfímetro del ERS-1.



Imagen 4.- Primeros datos del Dispersómetro del ERS-1.

LISTADO DE ASISTENTES A LA IVª REUNION CIENTIFICA DE LA A.E.T.

- ALMADÉN PEÑA, YOLANDA.**
FACULTAD DE CIENCIAS.
Avda. Carlos III, 17 2º A. 14014 CÓRDOBA
- ALBARZA LÓPEZ, JAVIER**
CONSEJERÍA DE ECONOMÍA Y HACIENDA
SERVICIO DE MINAS
Avda. República Argentina, 31. 41011. SEVILLA
- ALONSO SARMIENTO, CARMEN**
SERVICIOS OMCROM, S.A.
Federico Salván, 8. 28016-MADRID
- ALONSO SARRÍA, FRANCISCO**
UNIV. MURCIA. DPTO. GEOGRAFÍA FÍSICA.
30001 MURCIA.
- ÁNGEL MARTINEZ, MARÍA DEL CARMEN**
CEDEX CETA
Alfonso XII, 3, 5. 28014 MADRID.
- ANTÓN-PACHECO BRAVO, CARMEN**
ITGE
Ros Rosas, 23. 28003 MADRID
- ARBOL BERTIRÁN, ROMÁN**
I.C.C. INSTITUTO CARTOGRAFICO DE CATALUNYA
Balmes, 209. 08006 BARCELONA.
- ARDIZONE GARCÍA, JUAN**
I.G.N.
General Ránuez de Berro, 3. 28003 MADRID.
- ARZARENA VILLAR, ANTONIO**
I.G.N.
Julio Palacios, 13. 28029-MADRID.
- ARTEDA GONZÁLEZ-GRANDA, JESÚS**
MINAS DE ALMADÉN (MAYASIN)
Pº de la Castellana, 18 5ª. 28046-MADRID.
- BAISERA MEDINA, JOSEFA**
IARA.
Carlos Cañal, 7, 3º B. 41001 SEVILLA
- BARCO ALCÓN, RUFINO**
INSEL ESPACIO
Sor Ángela de la Cruz, 6. 28020 MADRID.
- BARREDA ALCORET, ANTONIO**
AGENCIA DE MEDIO AMBIENTE.
Avenida. Eritaña, 1. 41013 SEVILLA
- BAULIES BOCHACA, XAVIER**
I.C.C. INSTITUTO CARTOGRAFICO DE CATALUNYA
Balmes, 209. 08006 BARCELONA.
- BUYARRÍ GARCÍA, ELÍAS**
E.T.S.I. AGRÓNOMOS.
Vigen de la Soledad 16, C 3º B.
19003 GUADALAJARA
- BEL-LAN BALLESTER, ALEJANDRO**
INSEL ESPACIO
Sor Ángela de la Cruz, 6. 28020-MADRID
- BIDEGAÍN GONZÁLEZ, ESTHER**
Ntra. Sra. de los Angeles, 4. 41010 SEVILLA
- BIRLANGA LLORDEN, RAFAEL**
CENTRO DE ESTUDIOS Y EXPERIMENTACIÓN
O.P.(MOP) I.
Alfonso XII, 3. 28014 MADRID.
- BODEGA FERNÁNDEZ, MARÍA ISABEL**
Arzobispo Morcillo, nº 42. 28029 - MADRID
- BOIUDA HERNÁNDEZ, RAFAEL**
FACULTAD DE FARMACIA
Avda. Blasco Ibáñez, 13. 46010 VALENCIA
- BORDÁS VALLS, VALLIVANA**
UNIV. VALENCIA/FAC. BIOLOGÍA.
DPTO. GEOLOGÍA
Gorgos, 29-8ª planta. 46021-VALENCIA
- BORRÁS TALAVERA, MARÍA DOLORES**
FACULTAD DE FÍSICA/DPTO. ELECTRÓNICA
Avda. Torro, 334. SEVILLA.
- BRADSHAW, ROY P.**
DEPARTMENT OF GEOGRAPHY,
UNIVERSITY PARK
NOTTINGHAM NG7 2RD. ENGLAND
- BROQUETAS IBARS, ANTONI**
Josef Cirera Solgado, s/n. 08034 BARCELONA
- CABANILLAS MUÑOZ-BEJA, EDUARDO**
Daxpe de la Victoria, 5. 47001-VALLADOLID
- CABRIA RAMOS, AGUSTÍN**
E.T.S.I. AGRÓNOMOS
Apdo. Carceres 1105. 28080 MADRID
- CAMACHO OLMEDO, MARÍA TERESA**
Socrates, 18, 2º B. 18002 GRANADA
- CANTÓN GARDÍN, MARIUEL**
UNIVERSIDAD DE LAS PALMAS DE G.C.
Malteses, 3-4º DC. D.FISICA/ADO.550
35017 LAS PALMAS DE GRAN CANARIA
- CAÑAZARES RUIZ, MARÍA DEL CARMEN**
Paseo de San Gregorio, 4 1º derecha
PUERTO LlANO. CIUDAD REAL
- CARLEVARIS MUÑOZ, JUAN JOSÉ**
Pinar, 25. 28006 - MADRID
- CARRASCO BOHÓRQUEZ, JOSÉ**
Avda. Cardenal Herrera Oria, 167. 28034 MADRID
- CARREIRA DE LA FUENTE, J. ANTONIO**
UNIV. MÁLAGA DPTO. ECOLOGÍA
Campus Teatinos, S/N. 29071 MÁLAGA
- CASANOVA ROQUE, JOSÉ LUIS**
UNIVERSIDAD DE VALLADOLID
DPTO FÍSICA APLICADA I.
47071-VALLADOLID.
- CASSELLS MIRALLES, VICENTE**
UNIVERSIDAD DE VALENCIA
DIO. TERMODINAMICA/FAC DE FÍSICA
46100 BURJASSOT. VALENCIA
- CATURLA MONTERO, CRISTINA**
Pº San Francisco de Sales, 38. 28003 MADRID
- CHICA OLMO, MARIO**
UNIV GRANADA DPTO. GEODINÁMICA
Avda. Fuenterrebaca, s/n. 18071 GRANADA
- CHICHARRO MORENO, PEDRO M.**
Eduardo Benot, 1 - Apartado. 219. LAS PALMAS DE
GRAN CANARIA. LAS PALMAS
- CHUVECO SALINERO, EMILIO**
UNIV. ALCALÁ DE HENARES/DTO GEOGRAFÍA
Colegios, 2. 28801 MADRID
- CLAVERO SALVADOR, MANUEL**
Alfonso, 15, 3º. 41002-SEVILLA
- COLL COMPANY, CÉSAR**
Av. de la Paz, 94. 46190 RIBA ROJA. VALENCIA
- CORBERA SIMÓN, JORDI**
Mallorca, 80. 08029 BARCELONA
- COTOS YÁÑEZ, JOSÉ MANUEL**
UNIVERSIDAD DE SANTIAGO DE COMPOSTELA
FAC. DE FÍSICA/DPTO FÍSICA APLICADA
15706 SANTIAGO DE COMPOSTELA. LA CORUÑA
- CUADRADO MATEOS, MARÍA JOSÉ**
AGENCIA DE MEDIO AMBIENTE
Avenida. Eritaña, 41013. SEVILLA
- CUARTERO ARTETA, MARÍA TERESA**
Conzola de Cándida, 2, 5ª pta. 28010-MADRID
- CUESTA ZABALA, GOTZON**
Hurtado de Amezaga, 48-2º sq. 48008 BILBAO
- CUEVAS GOZALO, JOSÉ MIGUEL**
Ctra. Cosfán Km. 7. 28040 MADRID
- DE ARIAGA GÓMEZ, FERNANDO**
Pº de la Castellana, 93 4º P. 28046 MADRID
- DE LA CRUZ CALLE, ANTONIO**
Núñez de Balboa, 115. 2ª. 28006 MADRID
- DE LA PUENTE GAVILÁN, MANUEL. Á.**
Reyes de Navarra, 56, 3º izda. 01013. VITORIA-ALAVA
- DE LA FUENTE MARTÍN, CARMEN**
General Ibáñez Berro, 3. 28003 MADRID
- DE LA RIVA FERNÁNDEZ, JUAN RAMÓN**
UNIV. ZARAGOZA/DPTO. Gº Y ORD. TERRIT.
Plaza San Francisco s/n. 50009 ZARAGOZA
- DE LERA SOBRIÑO, MARÍA OLGA**
Pinar, 25. 28006 - MADRID
- DE ZAVALLA MORENCOS, IGNACIO**
Lagasca, 103. 28006-MADRID
- DEL POTRO GÓMEZ, RECARDO**
Pº San Francisco de Sales, 38. 28003 MADRID
- DELGADO BERMEJO, JAVIER**
General Ibáñez, 3. 28003 MADRID
- DÍAZ DELGADO, EDUARDO**
Rodrigo de Triana, 10. 41010 SEVILLA
- DOMÍNGUEZ BRAVO, JAVIER**
Anapiles, 14. 28015 MADRID
- ESCUDEIRO BARBERO, ROSARIO**
Gonzalo de Córdoba, 2, 5ª Pta. 28010 MADRID
- EZCUELO SOLÉ, JUAN**
Parfida Pº de Monsor, 53. 25191 LERIDA
- FABREGAT VENTURA, VICENTE**
Ros Rosas, 23. 28003 MADRID
- FELICISIMO PÉREZ, ÁNGEL MANUEL.**
INDURIO/UNIVERSIDAD DE OVIEDO
Independencia, 13. 33004 OVIEDO (ASTURIAS)
- FELIP FILLAT, ROSA ANNA**
Major, 2. 25632 GUARDA DE NOGUERA. LERIDA
- FERNÁNDEZ ÁLVAREZ, SEVERINO**
Sor Ángela de la Cruz, 6 pl. 3. 28020 MADRID
- FERNÁNDEZ RENAÚ, ALIX**
Ctra. Torrejón Añábur, Km 4. 28850-MADRID
- FERNÁNDEZ-PALACIOS CARMONA, ARTURO**
AGENCIA DE MEDIO AMBIENTE
Avenida. Eritaña, 41013. SEVILLA
- FERRER VIDAL CORTELLA, VIRGINIA**
INST. JAUME ALMERA
Marti i Franques, s/n. 08028-BARCELONA
- FLORES GONZÁLEZ, PILAR**
AGENCIA DE MEDIO AMBIENTE
Avenida. Eritaña, 41013. SEVILLA
- FONT FERRÉ, JORDI**
INST. CIENCIAS DEL MAR
Pº Nacional s/n. 08039 BARCELONA
- GALLEGO FERNÁNDEZ, JUAN B.**
FACULTAD DE BIOLOGÍA
Avda Reina Mercedes, s/n. 41080-SEVILLA
- GANDÍA FRANCO, SOLEDAD**
Avda Aragón, 25-58º. 46010-VALENCIA
- GARCÍA, ANDRÉS**
AGENCIA DE MEDIO AMBIENTE
Avenida. Eritaña, 41013. SEVILLA
- GARCÍA GIL, ENRIQUE**
Paseo de la Castellana, 91. 28046-MADRID
- GARCÍA GÓMEZ, JOSÉ CARLOS**
FAC. DE BIOLOGÍA/LAB.BIOLOGÍA MARINA
Avda. Reina Mercedes s/n. 41071 SEVILLA
- GARCÍA MANRIQUE, EUSEBIO**
Compositor Herberberg, 4 2º B. 29007-MÁLAGA
- GARCÍA MANTECA, PILAR**
INDURIO/UNIVERSIDAD
Independencia, 13. 33004 OVIEDO. ASTURIAS
- GARCÍA RODRÍGUEZ, RAFAEL**
José Martínez de Velasco, 8-10º iz. 28007-MADRID
- GARCÍA SOLANO, MARÍA DOLORES**
UNIV. DE MURCIA/DPTO. FÍSICA
Los Dolores, 5. 23. 30153-CORVERA. MURCIA
- GARCÍA VIEJO, MARÍA ISABEL**
Pº San Francisco de Sales, 38. 28003 MADRID
- GARZÓN CANTERA, SALOMÓN**
Anapiles, 14. 28015-MADRID
- GEA BERNAD, MANUEL**
Agustin de Foxá, 25-8º B. 28036 MADRID
- GILBERT NAVARRO, MARÍA AMPARO**
Xalón, 7, 32º. 46010 VALENCIA
- GIMÉNEZ de AZCÁRATE, FERNANDO**
AGENCIA DE MEDIO AMBIENTE
Avenida. Eritaña, 41013. SEVILLA
- GÓMEZ FERNÁNDEZ, FRANCISCA**
Velázquez, 24, 5º izda. 28001-MADRID
- GÓMEZ MARÍN, MANUEL**
Camino del Respláncido s/n. ADO-42
41510-MARLENA DEL ALCOR. SEVILLA
- GÓMEZ SÁNCHEZ, JOSÉ ANTONIO**
Ctra. Torrejón Añábur, Km. 4.
28850-TORREJÓN DE ARDOZ. MADRID
- GONZÁLEZ ALONSO, FEDERICO**
Ctra. de La Coma Km 7. 28040-MADRID
- GONZÁLEZ FERNÁNDEZ, ANA**
AGENCIA DE MEDIO AMBIENTE
Avenida. Eritaña, 41013. SEVILLA
- GONZÁLEZ RAMOS, ANTONIO IVÁN**
DPTO. BIOLOGÍA. CAMPUS UNIVERSITARIO DE
TAJIBRA
35017 LAS PALMAS DE GRAN CANARIA
- GONZÁLEZ REBOLLAR, JOSÉ LUIS**
Serrano, 115 bis. 28006-MADRID
- GOOSSENS, MARC ANTOINE**
UNIVERSIDAD UTRECHT
TERTSTRAA 3. 3581 LH-UTRECHT. NEDERLAND
- GRANADOS, MANUEL**
AGENCIA DE MEDIO AMBIENTE
Avenida. Eritaña, 41013. SEVILLA
- GUERRERO DE MIER, CARMEN**
AGENCIA DE MEDIO AMBIENTE
Avenida. Eritaña, 41013. SEVILLA
- GURRIA GASCÓN, JOSÉ LUIS**
Hnos Romero Ruiz, 2, 2º-3ºC. 10003 CACERES
- GUTIÉRREZ CLAVEROL, MANUEL**
UNIV. DE OVIEDO/DTO. GEOLOGÍA
Independencia, 13. 33004 OVIEDO. ASTURIAS
- GUTIÉRREZ DE LA CÁMARA, MARÍA JOSÉ**
Ctra. de Torrejón Añábur, 0 Km 4.
28850-TORREJÓN DE ARDOZ. MADRID
- GUTIÉRREZ LAZPITA, JUAN ANDRÉS**
Vicente Golochoa, 6 6º
01008 VITORIA. ALAVA
- HERMOSILLA CARRASQUILLA, AURORA**
AGENCIA DE MEDIO AMBIENTE
Avenida. Eritaña, 41013. SEVILLA
- HERNÁN VALEIRO, MIGUEL**
Cruces de Almazora, 58 - 6º B. 28033-MADRID
- HERNÁNDEZ GUERRA, ALONSO**
UNIVERSIDAD/DPTO. FÍSICA
Campus Universitario/Avda. 550.
35016 LAS PALMAS
- HERNÁNDEZ RUIZ, MÁXIMO**
ITGE (AREA INGENIERIA GEOAMBIENTAL)
Ros Rosas, 23. 28003 MADRID
- HERRERO GARCÍA, RAFAEL**
Maides, 17. 28003 MADRID
- HERRERO MATÍAS, MIGUEL**
Avda Ciudad de Barcelona, 136. 28017 MADRID
- HERRÓN GÓMEZ, MARÍA**
Pº Extremadura, 19 3º A. 28011 MADRID
- HERVÁS DE DIEGO, JAVIER**
JOINT RESEARCH CENTRE, TP 440
21020 ISPRA (VA) ITALIA.
- HEYMANN, YVES**
8 RUE C. MATRAT 92/301/ISSY-LES-MX
ISSY LES MOULINEAUX. FRANCIA
- HIDALGO DÍAZ, CARMEN**
FACULTAD DE CIENCIAS
1001-CÓRDOBA
- HURTADO SANTÓN, EMILIA**
E.U.P.A.
Campus Universitario. 02071-ALBACETE
- IGLESIAS, NOEMI**
UNIV. ALCALÁ DE HENARES. DPTO. GEOGRAFÍA
Colegios, 2. 28801 ALCALÁ DE HENARES. MADRID
- INORIZA AZPURUA, JOSÉ IGNACIO**
GOBIERNO VASCO
Postos, 36 - Pº. 01004 VITORIA. ALAVA
Avda. Ciudad de Barcelona, 118-124. 28007 MADRID
- JOVER DE CELIS, TERESA**
Serrano, 115 bis. 28006-MADRID
- JOVER SANZ-PASTOR, ANA**
Avda. Ciudad de Barcelona, 118-124. 28007 MADRID
- JURADO DOÑA, VICENTE**
Jamín, 8. 41927-MARENA DEL ALJARAFE.
SEVILLA
- LABRANDERO SANZ, JOSÉ LUIS**
CSIH CSIC
Pinar, 25. 28006 MADRID
- LAHUERTA TRAYER, FERNANDO**
Lopez de Hoyos, 64. MADRID
- LEÑA BARRANCO, INMACULADA**
CORDORA
Aldega, 13. 14550-MONTILLA. CORDORA
- LEÓN, JEANETTE**
INTA CIDAE
Rosales, 34. 28008 MADRID
- LINEROS, FRANCISCO**
AGENCIA DE MEDIO AMBIENTE
Avenida. Eritaña, 41013. SEVILLA
- LIASAT BOTJA, MARÍA DEL CARMEN**
Avda. Diagonal 647. 08028 BARCELONA
- LOBATO DOMÍNGUEZ, ADOLFO**
AGENCIA DE MEDIO AMBIENTE
Avenida. Eritaña, 41013. SEVILLA

LOBILLO LAINA, JESÚS
AGENCIA DE MEDIO AMBIENTE
Avenida, Entaña, 41013. SEVILLA

LÓPEZ BUENDÍA, ÁNGEL M.
FAC.FÍSICA/DPTO. TERMODINÁMICA
Molina, 50. 46100-BURJASSOT. VALENCIA

LÓPEZ DE MONTENEGRO, ELENA
CONS. AGRIC., PESCA Y ALIMENTACIÓN
41013 SEVILLA

LÓPEZ GARCÍA, MARÍA JOSÉ
UNIVERSIDAD DE VALENCIA. FAC.G. HISTORIA/
DPTO GEOGRAFIA
Apartado, 22060. 46080-VALENCIA

LÓPEZ GONZÁLEZ, FRANCISCO
INISEI. ESPACIO
San Andrés de la Cruz, 6. 13°. 28020 MADRID

LÓPEZ SORIA, SALVADOR
General Díaz Posch, 49. 28091 MADRID

LÓRES MARCO, LUIS
Pfal de la Riba, 3/AUTILL. 3. 25006-LLEIDA

LOZANO MITTELBURUM, CARMEN
AGENCIA DE MEDIO AMBIENTE
Avenida, Entaña, 41013. SEVILLA

LUCINI SÁENZ, MANUEL
Enlizo Vargas, 7. 28043 MADRID

MALINGREAU, J. P.
CHEF DU PROYECT. I.R.S.A. CCR. ISPIRA
HAJJA

MANTILLA IGLESIAS, ENRIQUE
U.T.E.S.A.
Serrano, 41-3ª planta. 28001 MADRID

MARAUÍ MARTÍNEZ DE RIQUERTO, PEDRO
Hacienda de Anzoa, Nº 1 - P.ª eda. BERGARA
GUILPUZCOA

MARÍN ALFARO, DOLORES
AGENCIA DE MEDIO AMBIENTE
Avenida, Entaña, 41013. SEVILLA

MARTÍN DÍAZ, CARLOS
IAC
Via Láctea, s/n. 38200 LA LAGUNA SANTA CRUZ
DE TENERIFE

MARTÍN FRÍAS, ELVIRA
Macedonia, 814 9ª. 41007 SEVILLA

MARTÍN LOU, MARIA ASUNCIÓN
Panar, 25. 28006 MADRID

MARTÍNEZ ABAD, CARLOS JAVIER
CON FEDERACIÓN HIDROGRÁFICA DEL
GUADALQUIVIR
Pza de España, s/n. SEVILLA

MARTÍNEZ ALONSO, SAIRA EVA
INST. JAUME ALMERA
Monti Franques, s/n. 08028 BARCELONA

MARTÍNEZ ÁLVAREZ, JOSÉ RAMÓN
AGENCIA DE MEDIO AMBIENTE
Avenida, Entaña, 41013. SEVILLA

MARTÍNEZ BENJAMÍN, JUAN JOSÉ
E.T.S. ING. DE CANAL Y PUERT.
UNIV. CATALUÑA
Jorge Cirons Selgado, 31. 08034 BARCELONA

MARTÍNEZ DE ARAÑO, INAZO
GOBIERNO VASCO
Avda. del Ejército, 27. BURAO (VIZCAYA)

MARTÍNEZ LOBO, ANTONIO
INST. DE CIENCIAS DEL MAR
P.º Nacional, s/n. 08039 BARCELONA

MARTÍNEZ ORTEGA, CARLOS
AGENCIA DE MEDIO AMBIENTE
Avenida, Entaña, 41013. SEVILLA

MARTÍNEZ SALCEDO, FERNANDO
AGENCIA DE MEDIO AMBIENTE
Avenida, Entaña, 41013. SEVILLA

MARTÍNEZ VEGA, JAVIER
C.S.I.C.
Pinar, 25. 28006 MADRID

MARTOS FERNÁNDEZ, MARÍA JOSÉ
Paseo de los Baños, 11. esc. A-2º B. 18008 GRANADA

MEDRANO, VICENTE
AGENCIA DE MEDIO AMBIENTE
Avenida, Entaña, 41013. SEVILLA

MELIÁ MIRALLES, JOAQUÍN
UNIVERSIDAD DE VALENCIA. FAC. DE FÍSICA
46100 BURJASSOT. VALENCIA
MENA CABEZAS, JUAN EUGENIO
San Luis, 54-1º. 41003 SEVILLA

MEÑOR TORIBIO, JOSÉ ÁNGEL
22 de Julio, 17 1º C
23740 ANDÚJAR. JAEN

MIER BELZÓN, FRANCISCO
GRANATA, S.A.
Avda. Elias Filipinas, 46. MADRID

MOLINA, FERNANDO
AGENCIA DE MEDIO AMBIENTE
Avenida, Entaña, 41013. SEVILLA

MONGE MARTÍN, CHIARO
AGENCIA DE MEDIO AMBIENTE
Avenida, Entaña, 41013. SEVILLA

MONTESINOS ARANDA, SALOMÓN
Velasquez, 24-5º izda. 28001 MADRID

MOREIRA MADUEÑO, JOSÉ MANUEL
AGENCIA DE MEDIO AMBIENTE
Avenida, Entaña, 41013. SEVILLA

MORENO MÉNDEZ, JOSÉ F.
UNIVERSIDAD DE VALENCIA. FAC. FÍSICA/
DPTO. TERMODINÁMICA
46100 BURJASSOT. VALENCIA

MOROTE GONZÁLEZ, PEDRO
Presidencia Bataus Campos, 2º P.º 03005 ALICANTE

MOYA GARCÍA, EGIDIO
Sagrado Familia, 1 1º derecha, 23007 JAEN

NADAL, IGNACIO
Avda. Cardenal Herrera Oria, 167. 28034 MADRID

NAVARRO AGUILAR, CARLOS MANUEL
Tomás de Aquino, 1. CORDOBA

NAVARRO MEZQUITA, CARMEN
AGENCIA DE MEDIO AMBIENTE
Avenida, Entaña, 41013. SEVILLA

OJEDA ZÚJAR, JOSÉ
UNIVERSIDAD DE SEVILLA
DPTO. DE GEOGRAFÍA FÍSICA Y A.G.R.
Mº de Padilla, s/n. 41004 SEVILLA

OJEMBARRENA SAN MARTÍN, LUIS I.
SADIEL
Virgen de Luján, 48. pta 1, 10º A. 41011 SEVILLA

OÑORO JABONERO, JOSÉ MANUEL
C.N.T.G.
General Ibáñez Ibero, 3. 28005 MADRID

ORIOI PIBERNAT, EVA
ESRIN. EARHINET PROGRAMME OFFICE. E.S.A.
FRASCATI. ITALIA

ORIVE, LUIS ANDRÉS
AYUNTAMIENTO
Avenida, 23. 01007 VITORIA. ALAVA

OTERO LEÓN, FELISA
AGENCIA DE MEDIO AMBIENTE
Avenida, Entaña, 41013. SEVILLA

OZCARIZ SALAZAR, JORGE
AYUNTAMIENTO
Avenida, 23. 01007 VITORIA. ALAVA

PALA COMELLAS, VICENÇ
INSTITUTO CARTOGRAFICO DE CATALUÑA
Raimos, 209. 08006 BARCELONA

PALACIOS MORERA, MARINO
Avda. de la Marina, 42-2º D. 28015 EGARES.
MADRID

PALAZÓN FERRANDO, JOSÉ ANTONIO
INSTITUTO DEL AGUA/FAC.BIOLOGIA CAMPUS
UNIVERSITARIO ESPINARDO.
30100 Espinardo. MURCIA

PARADA SANGUINO, MARGARITA
El Mirador, 2-3º B. 41940 TOMARES. SEVILLA

PEDREGAL MATEOS, BELÉN
Dexlor Gamero, 28. 41600 ARANIL. SEVILLA

PEÑA MARTÍNEZ, RAMÓN
CHEF CEXEMOFT
Paseo Bajo Virgen del Puerto, 3. 28005 MADRID

PÉREZ DE LOS COBOS MARÍN,
Gustamata, 12. 11 D. 28016 MADRID

PÉREZ TAPIAS, JOSÉ IGNACIO
Juan Palcos, 21. portal 3-1º A. 41013 SEVILLA

PINILLA MUÑOZ, RAFAEL
Historiador Dominguez Oute, 5º-1º. 14002 CORDOBA

PINTADO GONZÁLEZ, MARÍA JOSÉ
Arcelec Mannas, 112-1º D. 28098 MADRID

POLVORINOS DEL RÍO, ÁNGEL
FACULTAD DE QUÍMICA. DPTO. CRYSTALOGRAFIA Y MINERALOGIA
Apartado, 553. 41071 SEVILLA

PONS FERNÁNDEZ, XAVIER
Escola Industrial, 10
08201 SARDANELL. BARCELONA

PORCUNA FERNÁNDEZ-MONASTERIO, ANA
TRAGSATEC
Av. Ciudad de Barcelona, 118-124. 28007 MADRID

PRADOS VELASCO, MARÍA JOSÉ
UNIV.DE SEVILLA/FAC.GEOLÓGICA
Mº de Padilla, s/n. 41004 SEVILLA

RUCKORRUS
EOSAT-EUROPE

PUG DE FÁBREGAS SACRISTA, JUAN
Sant Ramón, 4
08378 SANTA SUSANNA. BARCELONA

PUG ORTIZ DE URBINA, JUAN F.
Hortado de Ansegua, 48-2º.
48008 BILBAO. VIZCAYA

RAMÍREZ, ANTONIO J.
AGENCIA DE MEDIO AMBIENTE
Avenida, Entaña, 41013. SEVILLA

RAMOS DÓNDERI, JOSEFA
Los Carbonos, 9. 41300 SAN JOSE DE LA RICONDA.
DA. SEVILLA

RENDÓN INFANTE, JOSÉ MARÍA
Rosales, 5. 11150 VEJER DE LA FRONTERA. CADIZ

REVELA RAMÓN, JUAN CARLOS
SEPESS
Paseo de la Castellana, 91. 28046 MADRID

REY ARNAIZ, JOSE
CCMA
Serrano, 115-15. 28006 MADRID

RIAZA GARCÍA, MARÍA ASUNCIÓN
IJGE
Ros Rosas, 23. 28003 MADRID

RODRÍGUEZ AGUSTÍN, CARMEN
Cita. Torregón Alabar, KM.4.
28850 TORREJÓN DE ARDOZ. MADRID

RODRÍGUEZ RIQUEL, JAVIER
Antonio Manza, 20-3. 14005 CORDOBA

RODRÍGUEZ SANTALLA, INMACULADA
Pablo Lafuente, 11. 28017 MADRID

RODRÍGUEZ SURIAN, MANUEL
AGENCIA DE MEDIO AMBIENTE
Avenida, Entaña, 41013. SEVILLA

ROMERO VALIENTE, JUAN MANUEL
Montes, 2. 11170 MEDINA SIDONIA. CADIZ

ROMEO RIPOLL, JOAN
INSTITUTO CARTOGRAFICO DE CATALUÑA
Bilmes, 209. 08006 BARCELONA

ROURE NOLLA, JUAN M.
UNIVERSIDAD AUTÓNOMA DE BARCELONA
Avda. Sant Antoni Maria Claret, 252-256 AT.2º. 08026
BARCELONA

RUIZ MONTORO, LUCAS
AGENCIA DE MEDIO AMBIENTE
Avenida, Entaña, 41013. SEVILLA

RUIZ PINO, DIANA
UNIVERSITY OF PARIS. I.P.C.M.
Place Jussieu, Tour, 25. 5ème. 75005 PARIS FRANCE

RUIZ-TARAZONA DÍAZ, MANUEL
Leces, 40. HOYO DE MANZANARES. MADRID

RUIZ ZANÓN, PILAR
TRAGSATEC
Avda Ciudad de Barcelona, 118-124.
28007 MADRID

SALINAS BONILLO, MARÍA JACOBÁ
UNIVERSIDAD DE GRANADA
Sector Ochoa, s/n. 18002 GRANADA

SANABRIA, CRISTINA
Pena Saino, 25. 28034 MADRID

SÁNCHEZ, JUAN JORGE
Suro, 57. 4º D. 08240 MANRESA.
BARCELONA

SÁNCHEZ PEÑA, MIGUEL
Puzos, 1821. 1640 MARTINEZ - B.A.S.
ARGENTINA

SÁNCHEZ RODRÍGUEZ, ESPERANZA
Vélgas Marmolejo, 9. 11 3-4º C. 41805 SEVILLA

SÁNCHEZ SÁNCHEZ, DAVID
AGENCIA DE MEDIO AMBIENTE
Avenida, Entaña, 41013. SEVILLA

SÁNCHEZ SÁNCHEZ-MORA, JOSÉ IGNACIO
Avda. Pinar de Ribera, 2. CACERES

SANJUAN HERNÁNDEZ-PÉREZ, ALFONSO
Palagonia, 37. Alto Izaga. TAIRA BIA
35017 LAS PALMAS DE GRAN CANARIA

SANTOS FRANCÉS, FERNANDO
Gl de Ontañón, 1-5º D. 37005 SALAMANCA

SANTOS MUÑOZ, SUSANA
SEPESS
Paseo de la Castellana, 91. 28046 MADRID

SANZ NIETO, LUIS IGNACIO
Rosales, 22-2º B. 21001 HUELVA

SAÑUDO GARCÍA, MIGUEL ÁNGEL
INSTITUTO DEL AGUA/FAC. BOLOGIA
CAMPUS UNIVERSITARIO ESPINARDO.
30100 ESPINARDO. MURCIA

SEGARRA GOMAR, DEMETRIO
Pinaro de Reja, 125. 46020 VALENCIA

SEPÚLVEDA GUILÉN, M.º DEL ROSARIO
UNIVERSIDAD DE SEVILLA
Pol. San Pablo Bº C./Bº 3º 1º A. 41007 SEVILLA

SERRA DEL POZO, PABLO
Amaya, 12-4º D. 31004 PAMPLONA. NAVARRA
SERRANO ALVAREZ, ANTONIO PEDRO
Los Angeles, 7. SEVILLA

SOBRINO RODRÍGUEZ, PILAR
Elena Tamant, 5 PTA. 5. 46000 TORRENTÉ.
VALENCIA

SOBRINO Y RODRÍGUEZ, JOSÉ A.
Elena Tamant, 5-5. 46000 TORRENTÉ. VALENCIA

SOLANO FERNÁNDEZ, RAFAEL
Marcos Redondo, Bº 1º/2º planta. 140 10 C CORDOBA

SOLÉ SUGRANES, LLUIS
CONSCIENTIFICAS DE LA TIERRA
Monti Franques, s/n. 08028 BARCELONA

SUÁREZ RODRÍGUEZ, CARLOS
D.G.M.A.
Avda. Juan XXIII, 2. 35001 LAS PALMAS DE GRAN
CANARIA

SUGRANES NEVADO, ELISA
INTACIDAE. Rosales, 31. 28008 MADRID

TAMAJÓN GÓMEZ, RAFAEL
Avda. 28 de Febrero, 1-3º B. 14007 CORDOBA

TEJERA DE LA CRUZ, ALICIA MERJA
Sor Simona, 19-2º. 35012 LAS PALMAS DE GRAN
CANARIA

TELLO RIPA, BLANCA
Maquez, 12 7º C. 28009 MADRID

TIMOTHY, J.
306 AVE PEBROQUEVILLE. EXL. BELGIUM

TOBAR QUINTANAR, ALIANDRO J.
FACULTAD DE FÍSICA UNIV. DE SANTIAGO DE
COMPOSTELA
15706 SANTIAGO DE COMPOSTELA (LA CORUÑA)

TORRES ALFOSEA, FRANCISCO JOSÉ
Teniente Durán, N.21, 3º derecha. 0304 ALICANTE

UBOLBI, JULIO ALBERTO
UNIV DE ALCAI DE HENARES
Colegios, 2. 28801 ALCAI DE HENARES. MADRID

URRUTIA GUTIÉRREZ, JAVIER
INSTITUTO DE OCEANOGRÁFIA
Avda. Sabiniega, 8. 20008
SAN SEBASTIÁN. GUPLUZZCOA

VALLEJO VILLATA, LUIS ISMAEL
Avda. Pelonomas, 6/BQ. 4/3º G. SAN JUAN DE AZ
NALTABACHE. SEVILLA

VALOR Y MICO, ENRIC
UNIVERSIDAD DE VALENCIA. FACIE. FÍSICA
DPTO. TERMODINÁMICA
46100 BURJASSOT. VALENCIA

VARGAS VALERA, FRANKLIN PUIGENCI
UNIVERSIDAD DE ALCAI DE HENARES
Granada, 1-4º A. 28802 MADRID

VERONESE, VALDIR
NOTTINGHAM UNIVERSITY. DEPARTMENT OF
GEOGRAPHY
University Park. NOTTINGHAM NG7 2RD ENGLAND

VICENTE SANTA CRUZ, MARÍA SAOMÉ
CHEMIN DE LA FOSSE. LE TOURNÉ. 35550. FRAN
CIA

VICOMA SILERO, OLGA
Avda. Misericordia, 28-6º C. 03003 ALICANTE

YOUNIS, MEGH THANOON
FACULTAD DE FÍSICAS
46100 BURJASSOT. VALENCIA